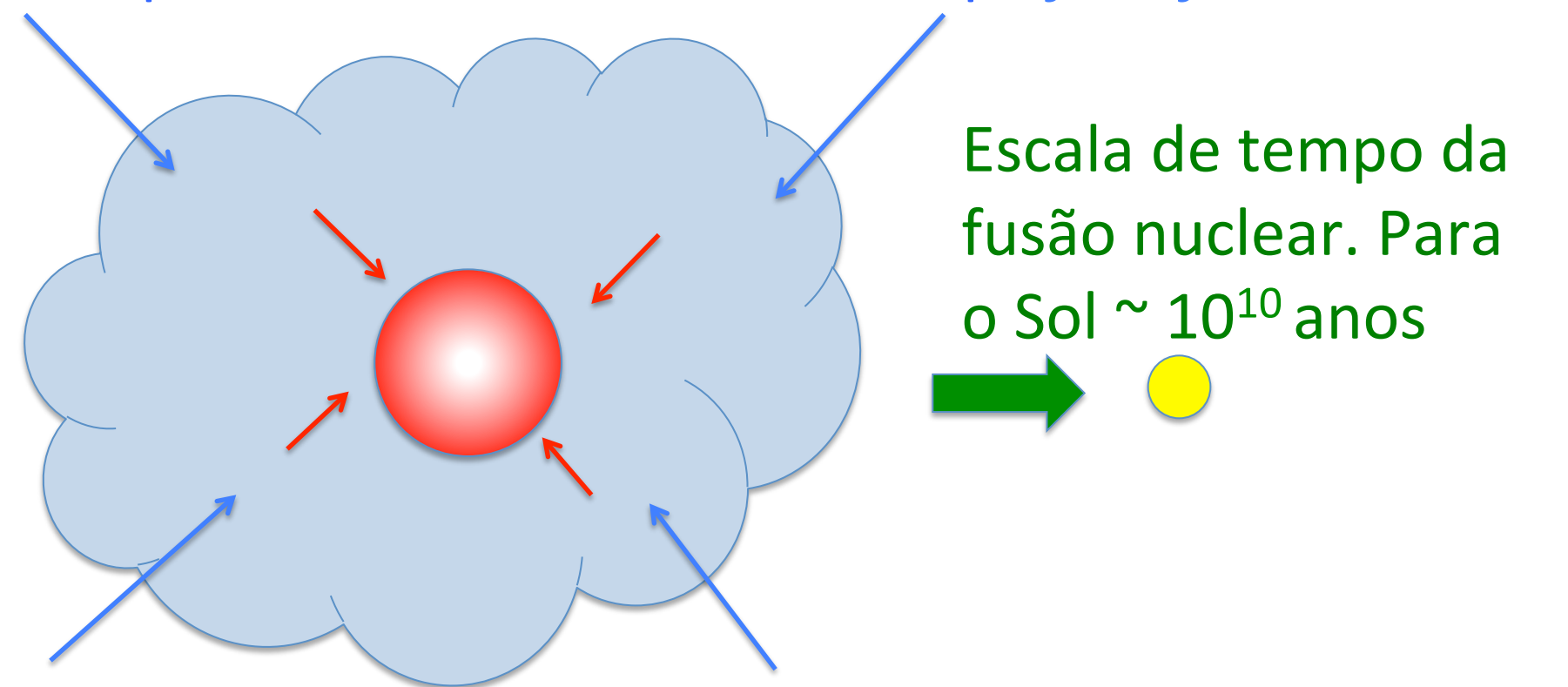
13 - Estágios avançados da evolução estelar (a partir de *The Horizontal Branch*) e Aglomerados estelares + parte do Cap. 14

J. Meléndez AGA293

Escalas de tempo de evolução estelar

Colapso da nuvem: escala de tempo *free-fall* ~10⁵ anos



Colapso da proto-estrela: escala de tempo de Kelvin-Helmholtz ~ 10⁷ anos

A estrutura e tamanho das estrelas muda durante

a sua evolução

 $M > 1.2 M_{\odot}$

Queima de hidrogênio pelo ciclo CNO \rightarrow núcleo convectivo



Estrelas com M < $1.2\,M_{\odot}$ queimam hidrogênio pelo ciclo próton-próton

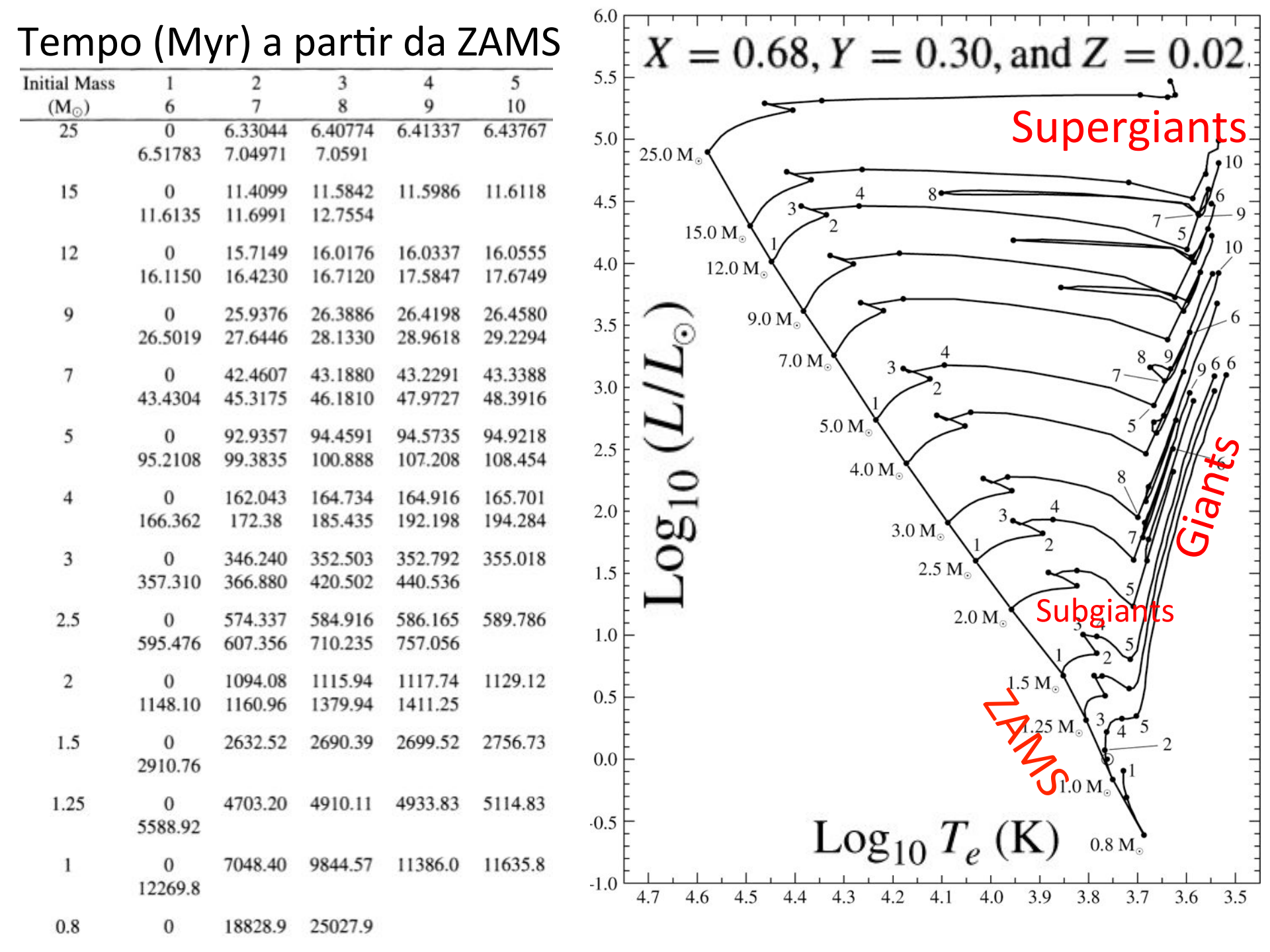
 $M < 0.3 M_{\odot}$

 $0.3~{\rm M}_{\odot}{<}~{\rm M}{<}1.2~{\rm M}_{\odot}$ Envelope convectivo



Totalmente convectivas devido à alta opacidade





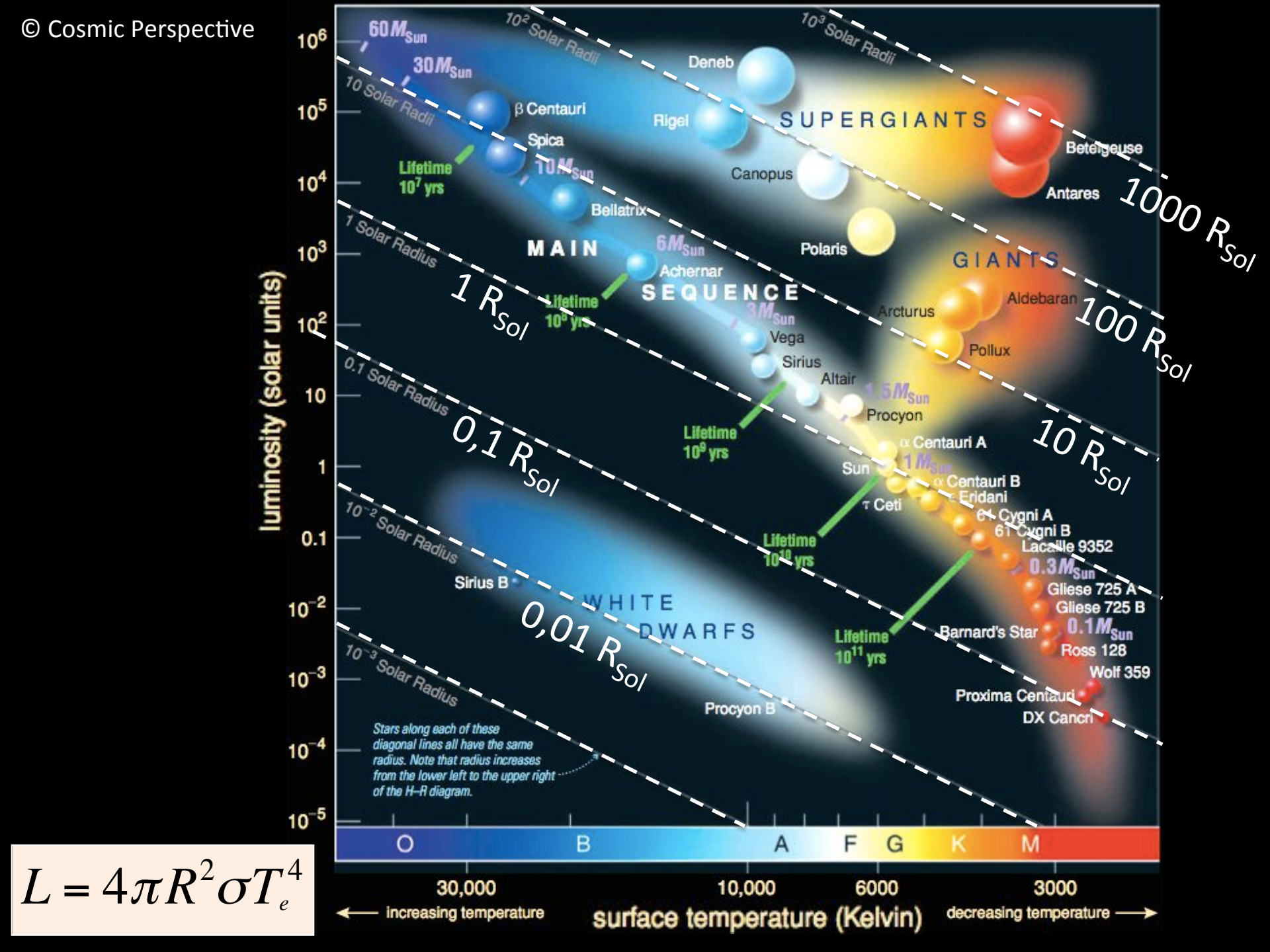


Figure 13.4. A schematic diagram of the evolution of a low-mass star of $1 \, M_\odot$ from the zero-age main sequence to the formation of the white dwarf star (Section 16.1). The dotted phase represents rapid evolution following the He core flash.

Evolutionary Phases:

ZAMS: Zero-Age Main Sequence

SGB: Sub-Giant Branch

RGB: Red Giant Branch

E-AGB: Early Asymptotic Giant

Branch

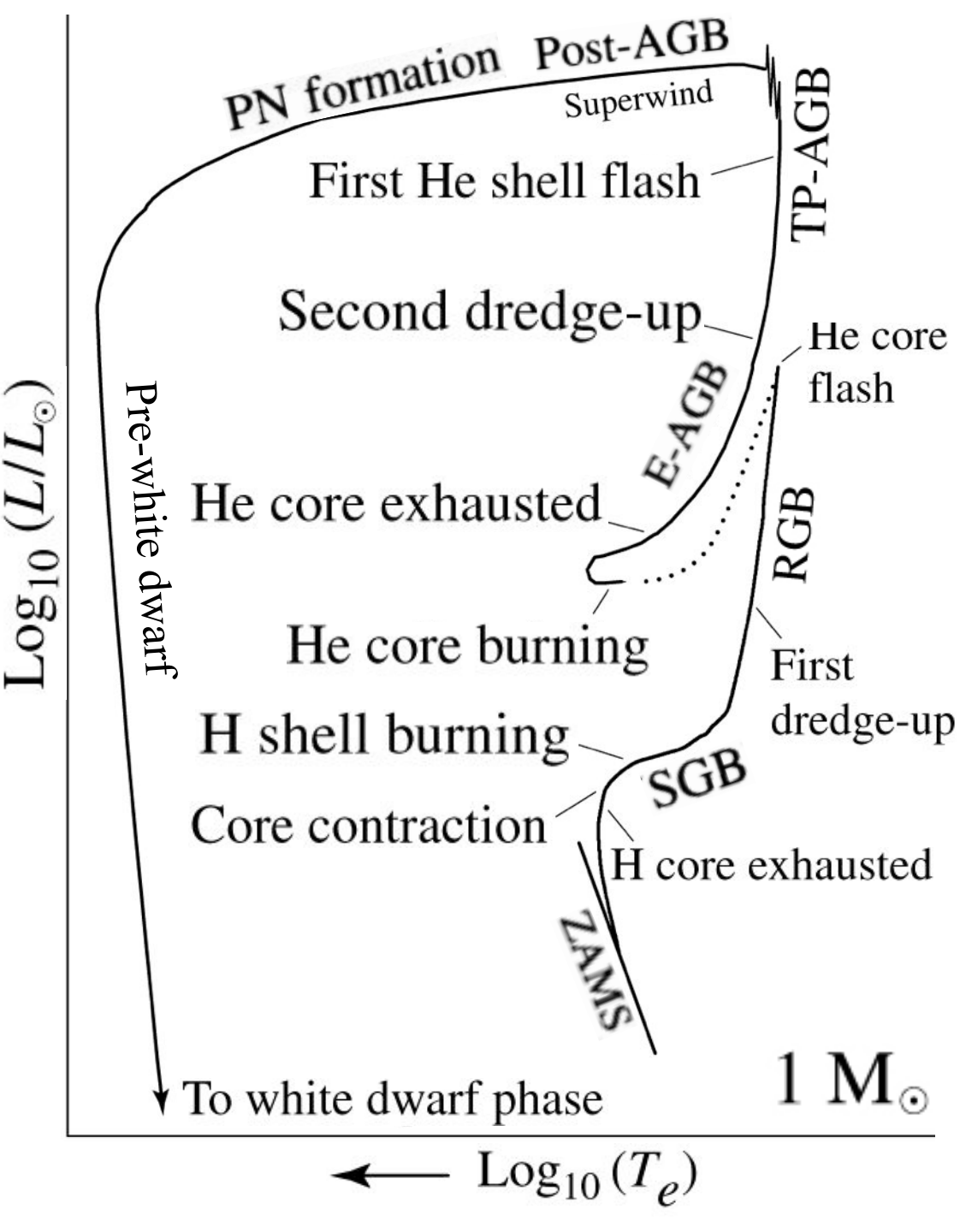
TP-AGB: Thermal Pulse AGB

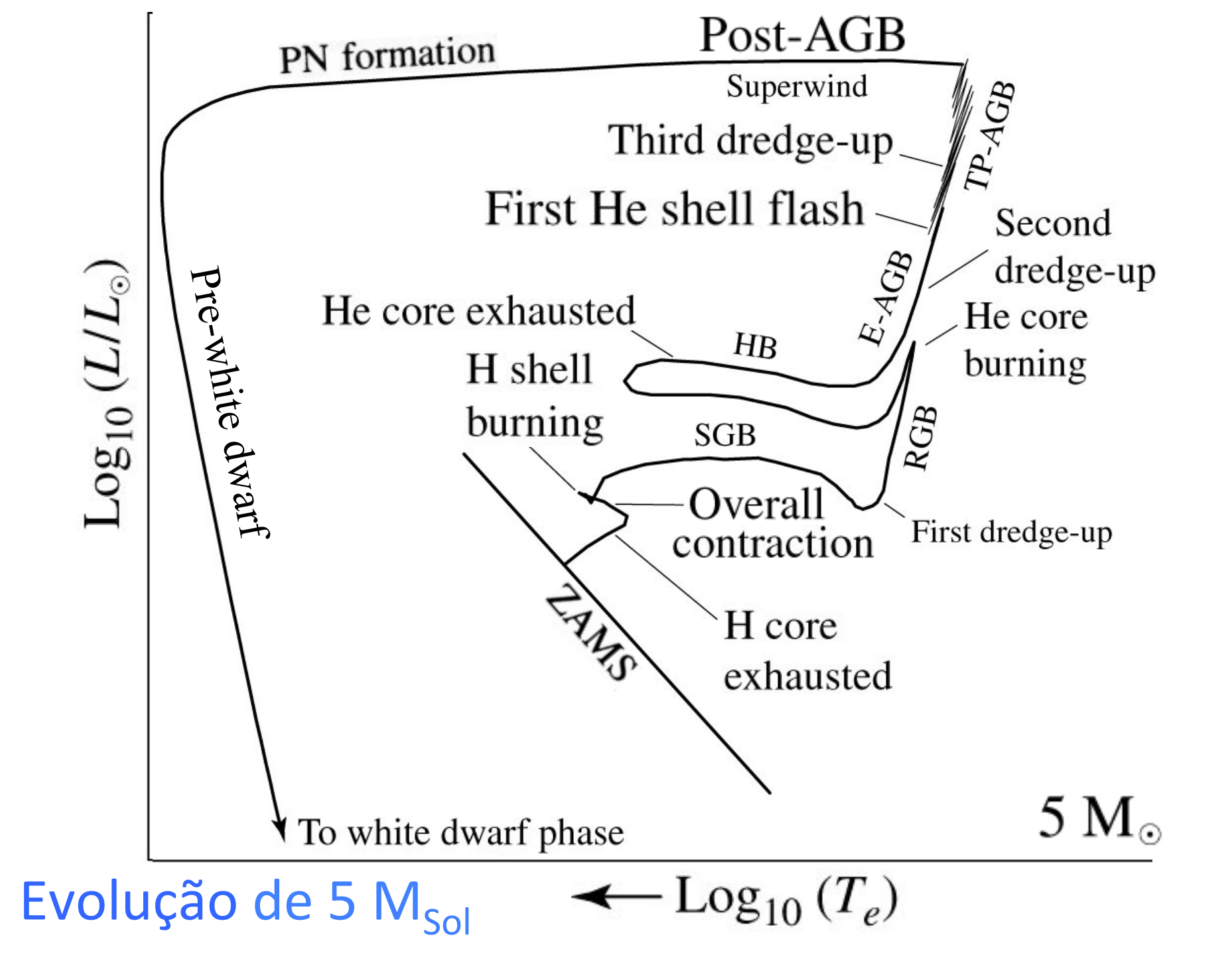
Post-AGB: Post-AGB

PN-formation: Planetary Nebula

formation

Evolução de 1 M_{Sol}



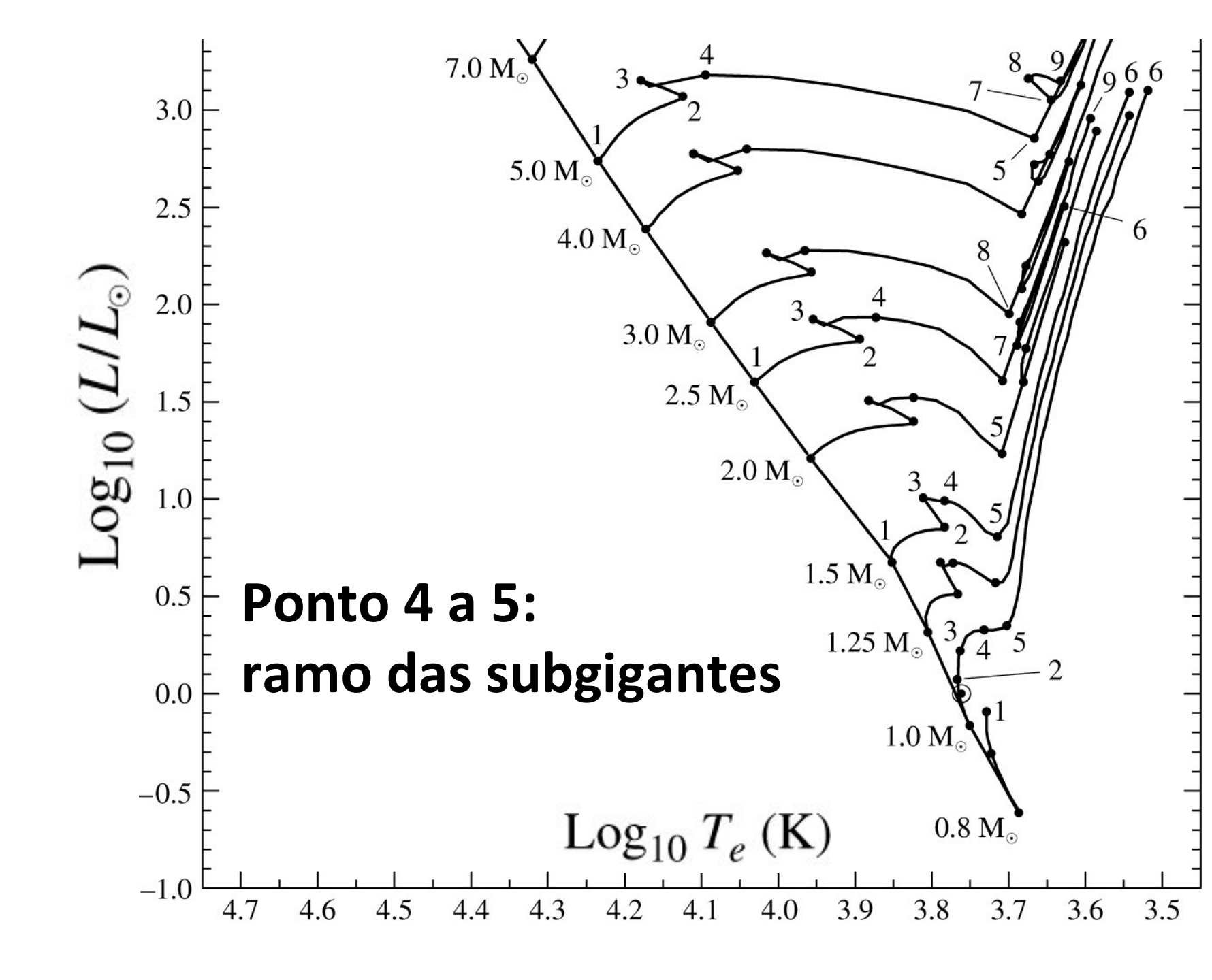


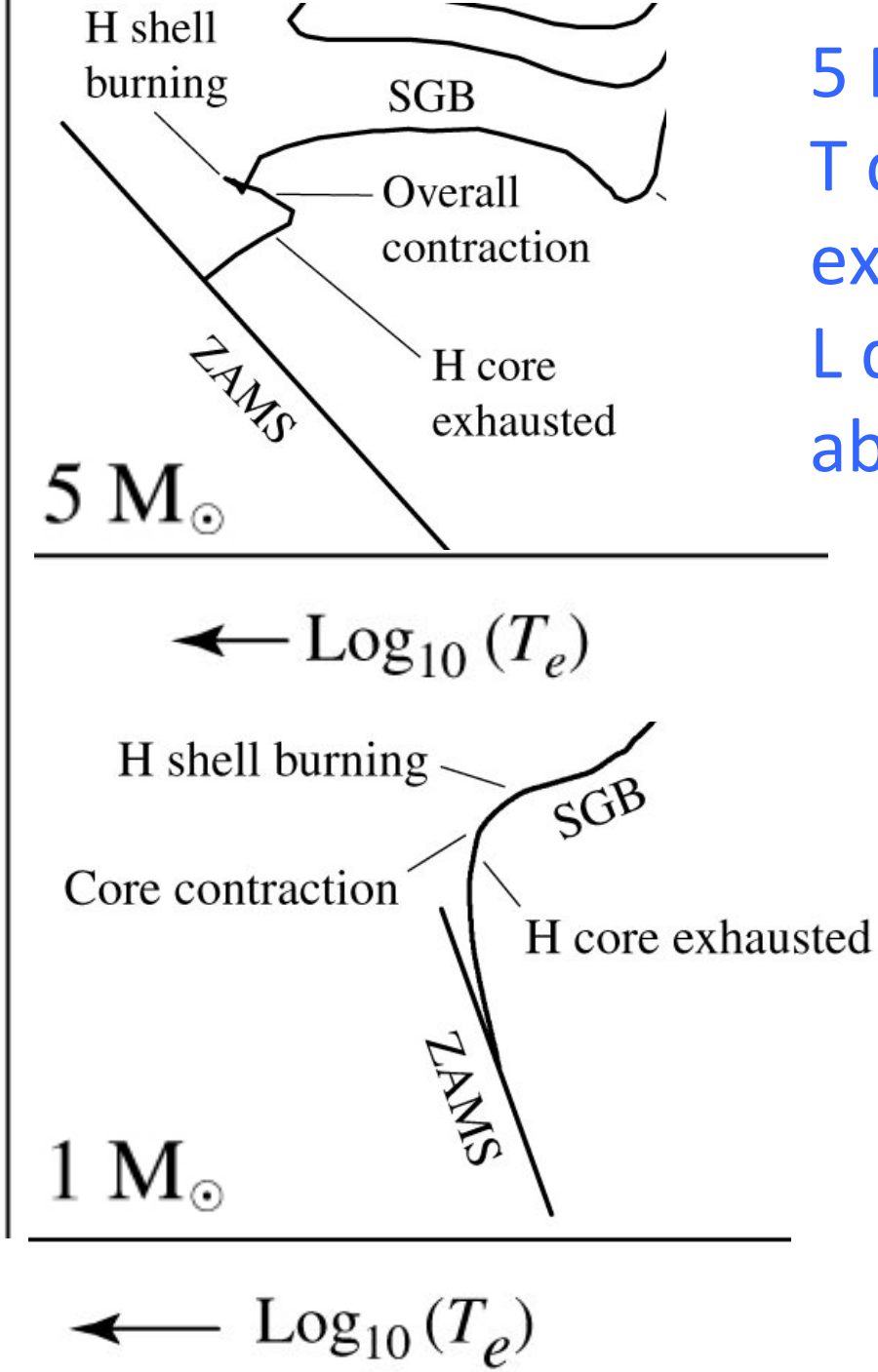
O ramo das subgigantes

Quando o limite de **Schönberg-Chandrasekhar** é atingido, a estrela entra em **rápida contração**, evoluindo muito mais rapidamente, na escala de tempo de Kelvin-Helmholtz.

Devido à energia liberada pela contração o envelope se expande \rightarrow temperatura diminui. Estrelas nesse estágio são chamadas de subgigantes

$$L = 4\pi R^2 \sigma T_e^4$$





5 M_{Sol}:

T decresce devido à expansão do envelope.
L decresce pois envelope

L decresce pois envelope absorve muita energia

$$L = 4\pi R^2 \sigma T_e^4$$

 $1 M_{sol}$:

L pequeno aumento.

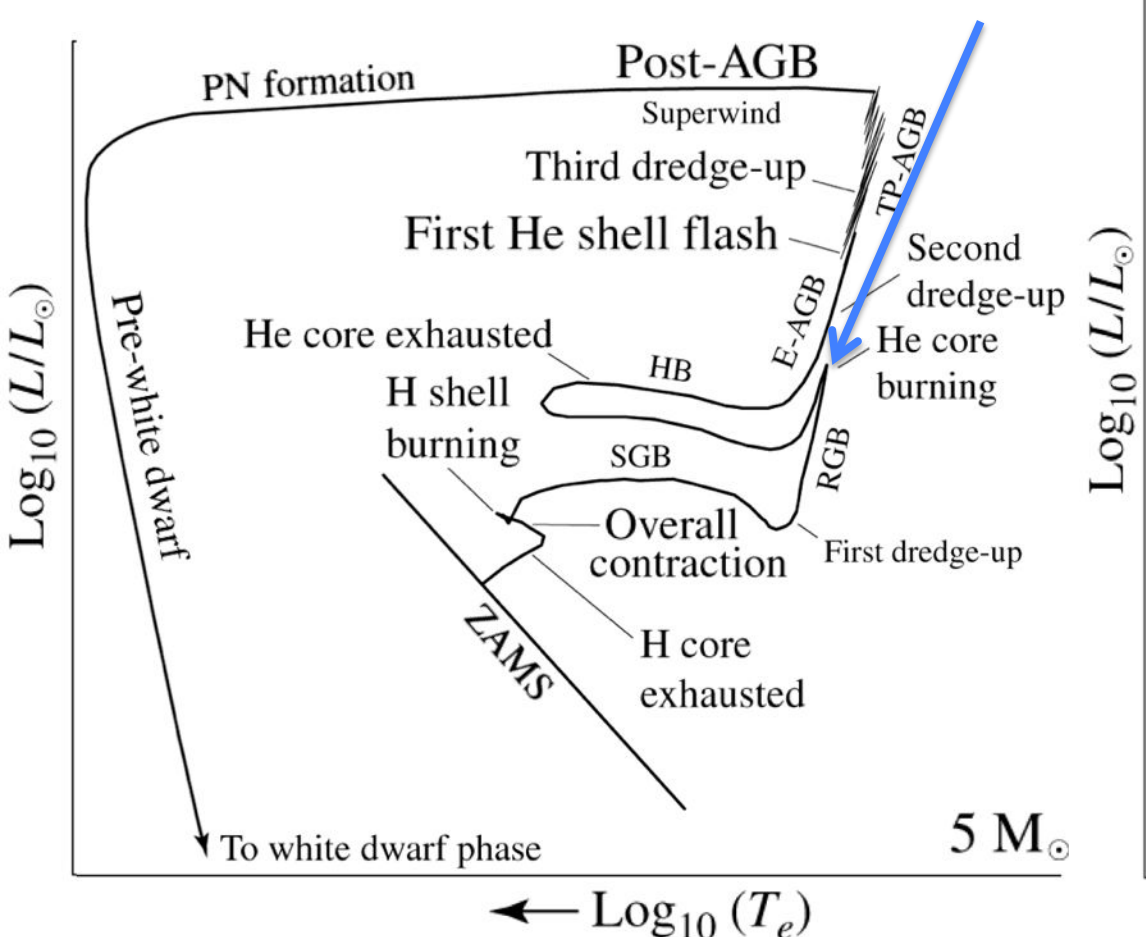
T decresce devido à expansão do envelope

SGB: sub-giant branch Ramo das subgigantes O ramo das gigantes: núcleo continua a se contrair e envelope continua expandindo Como T diminui em subgigante → opacidade interior aumenta (H⁻) → Convecção

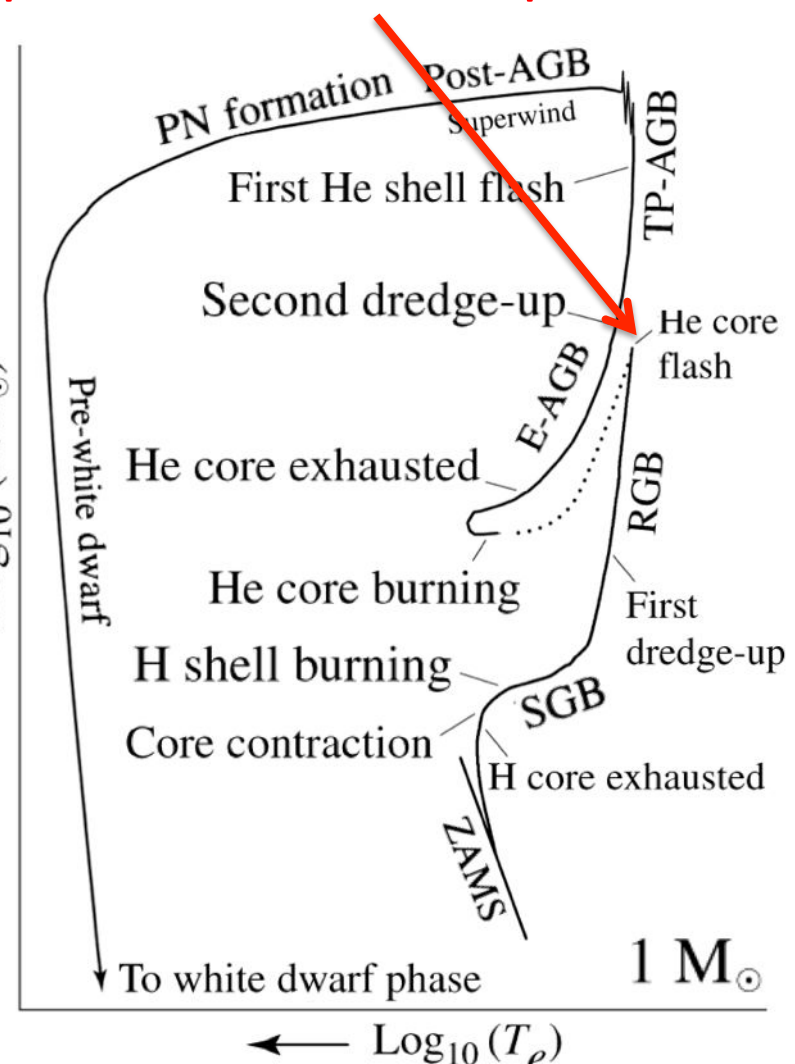


Fim do ramo das gigantes (RGB): início da queima de He

Para M > 2 M_{Sol} a queima de He no núcleo acontece mais suavemente



Para M < 2 M_{Sol} o início da queima de He é explosiva



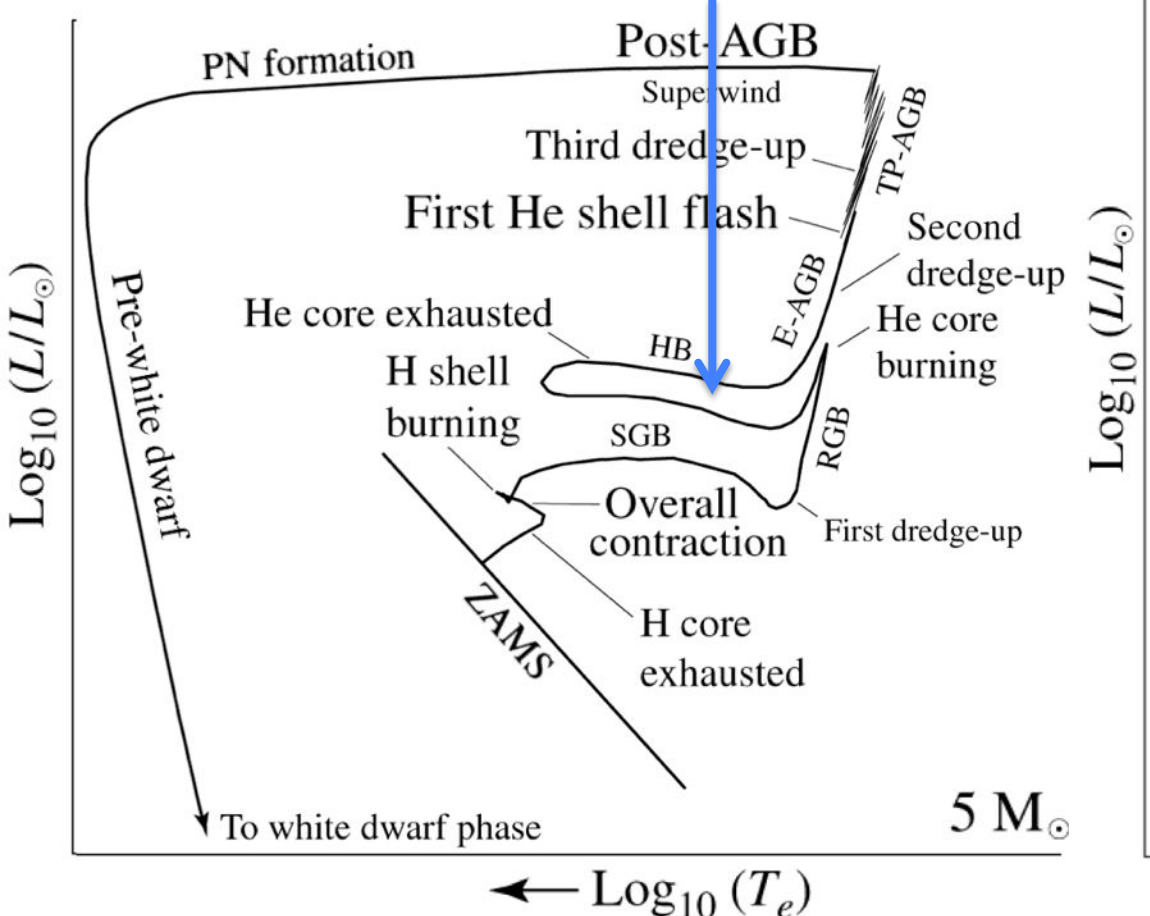
O ramo horizontal:

He \rightarrow C, O

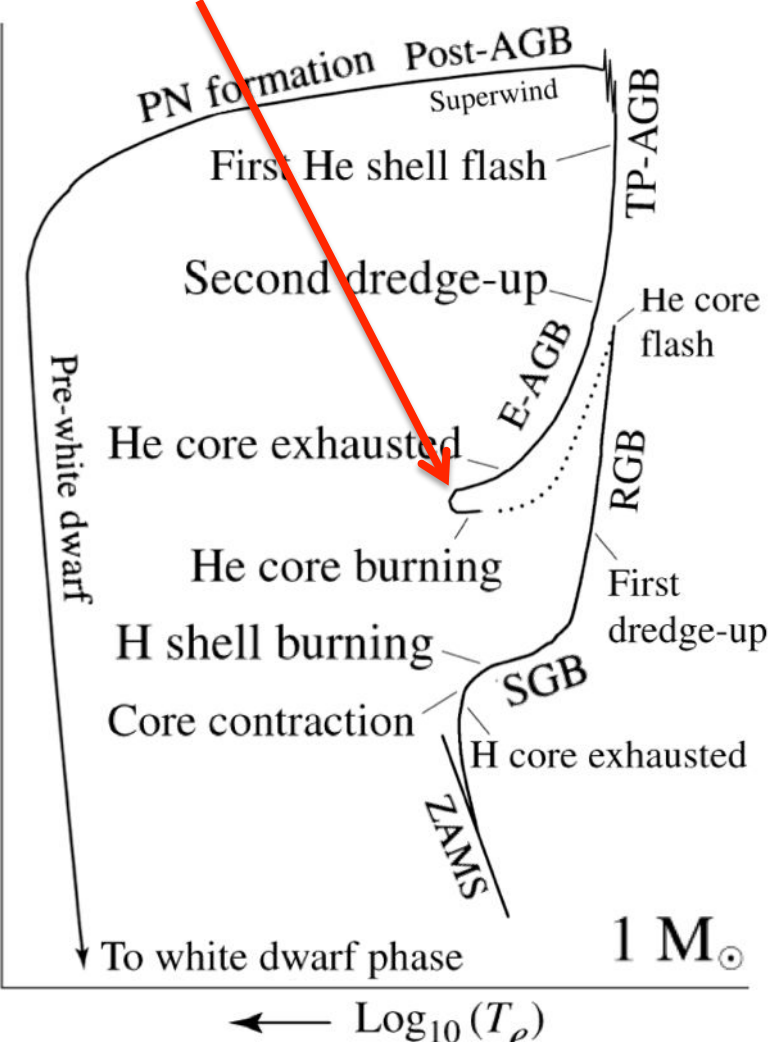
$${}_{2}^{4}\text{He} + {}_{2}^{4}\text{He} \rightleftharpoons {}_{4}^{8}\text{Be}$$

 ${}_{4}^{8}\text{Be} + {}_{2}^{4}\text{He} \rightarrow {}_{6}^{12}\text{C} + \gamma$

Estrelas de massa ${}^{12}_{6}\text{C} + {}^{4}_{2}\text{He} \rightarrow {}^{16}_{8}\text{O} + \gamma$ intermediaria têm HB extenso

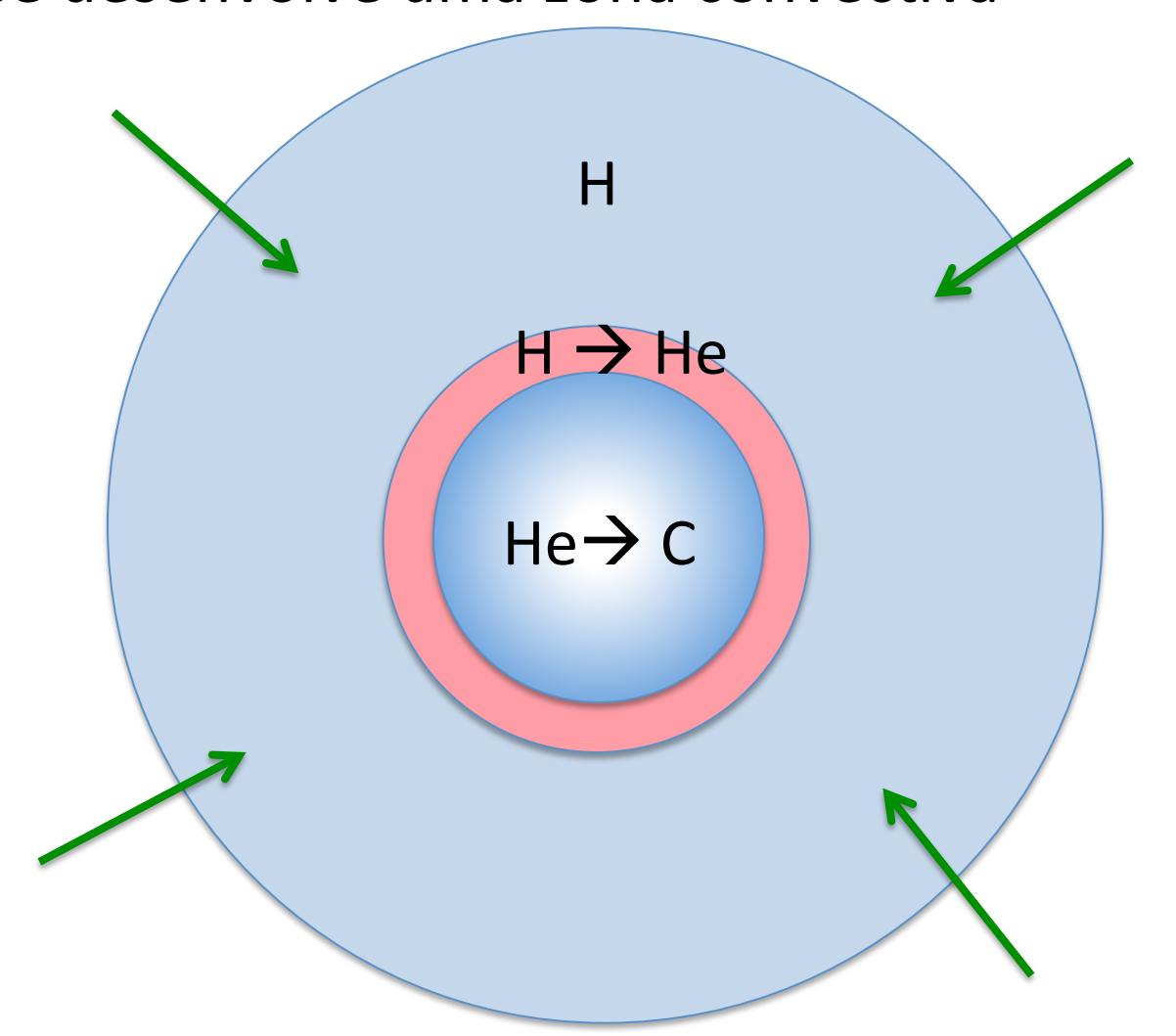


Estrelas de baixa massa como o Sol têm um ramo horizontal curto



Estrela no lado azul do ramo horizontal

O envelope ainda estão em contração \rightarrow aumenta a produção de energia pela *shell* (H \rightarrow He). No núcleo: queima de He em C e O \rightarrow se desenvolve uma zona convectiva



No percurso para o lado azul (quente) do ramo horizontal, temos queima do He similar à queima de H na SP. No ponto mais azul, peso molecular é muito alto → núcleo de He entra em contração.

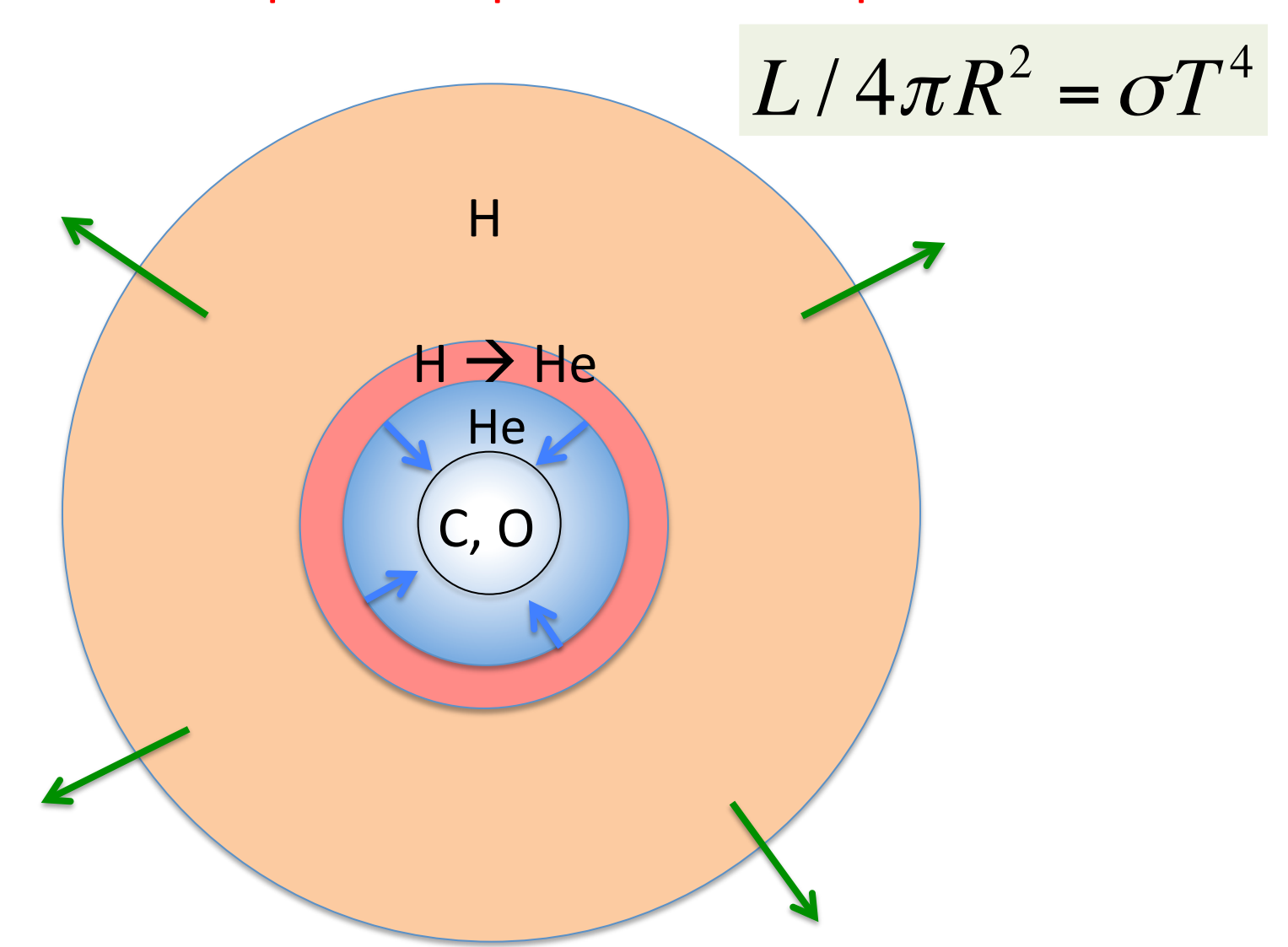
→ Expansão do envelope e PN formation Post-AGB percurso para o vermelho μm_H First He shell flash Post-AGB PN formation Superwind Third dredge-up Second dredge-up He core First He shell flash flash Second dredge-up $\mathsf{Log}_{10}\left(L/L_{\odot}
ight)$ He core exhausted He core exhausted He core Cogio burning H shell burning He core burning **SGB** First dredge-up Overall H shell burning SGB First dredge-up contraction Core contraction H core exhausted H core exhausted $5 \, \mathrm{M}_{\odot}$ **†** To white dwarf phase **▼** To white dwarf phase

 $-\operatorname{Log}_{10}(T_{\rho})$

 $- \operatorname{Log}_{10}(T_{\rho})$

Estrela no lado vermelho do ramo horizontal

Peso molecular é muito alto → núcleo de He entra em contração e o envelope em expansão → temperatura diminui



Estrela no lado vermelho do ramo horizontal

Peso molecular alto → núcleo de He em contração e a casca de queima de He→C fica mais fina e luminosa. A diminuição da T no envelope em expansão desliga a camada

de queima de H→He Junto com a Н contração do núcleo de CO, são emitidos muitos He ν e o núcleo resfria um pouco e fica mais denso e degenerado

Durante a passagem pelo ramo horizontal, estrelas podem desenvolver instabilidades

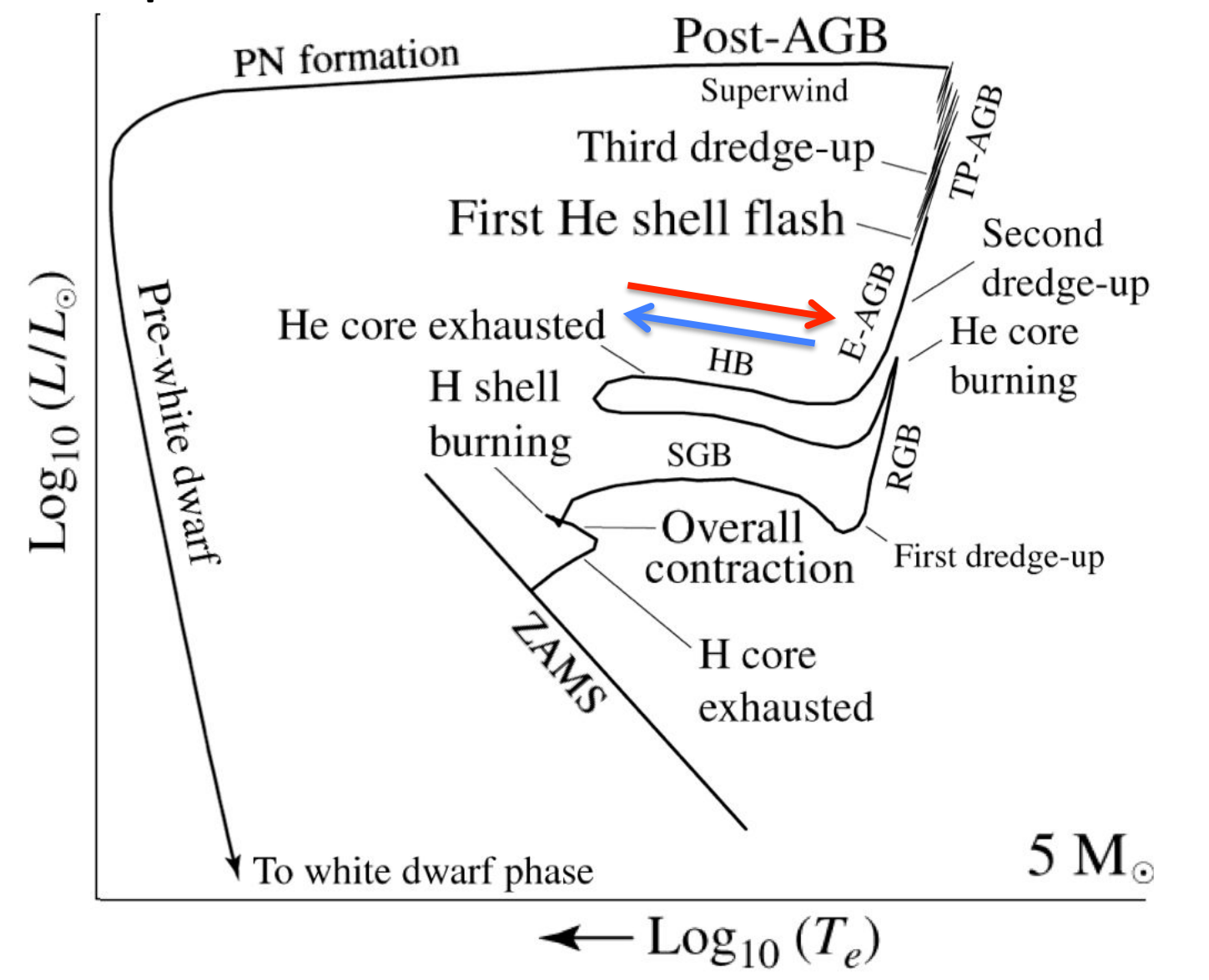
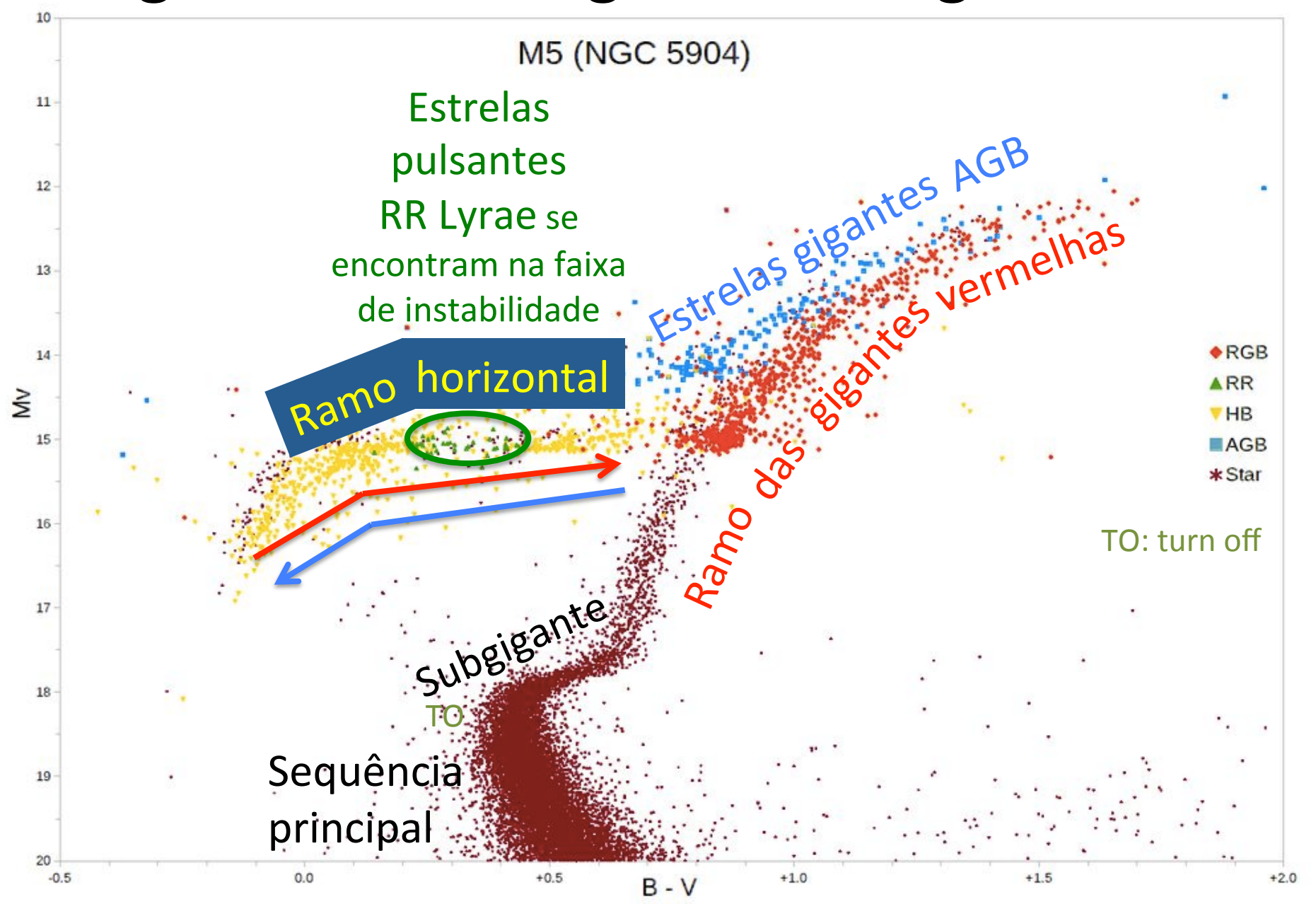
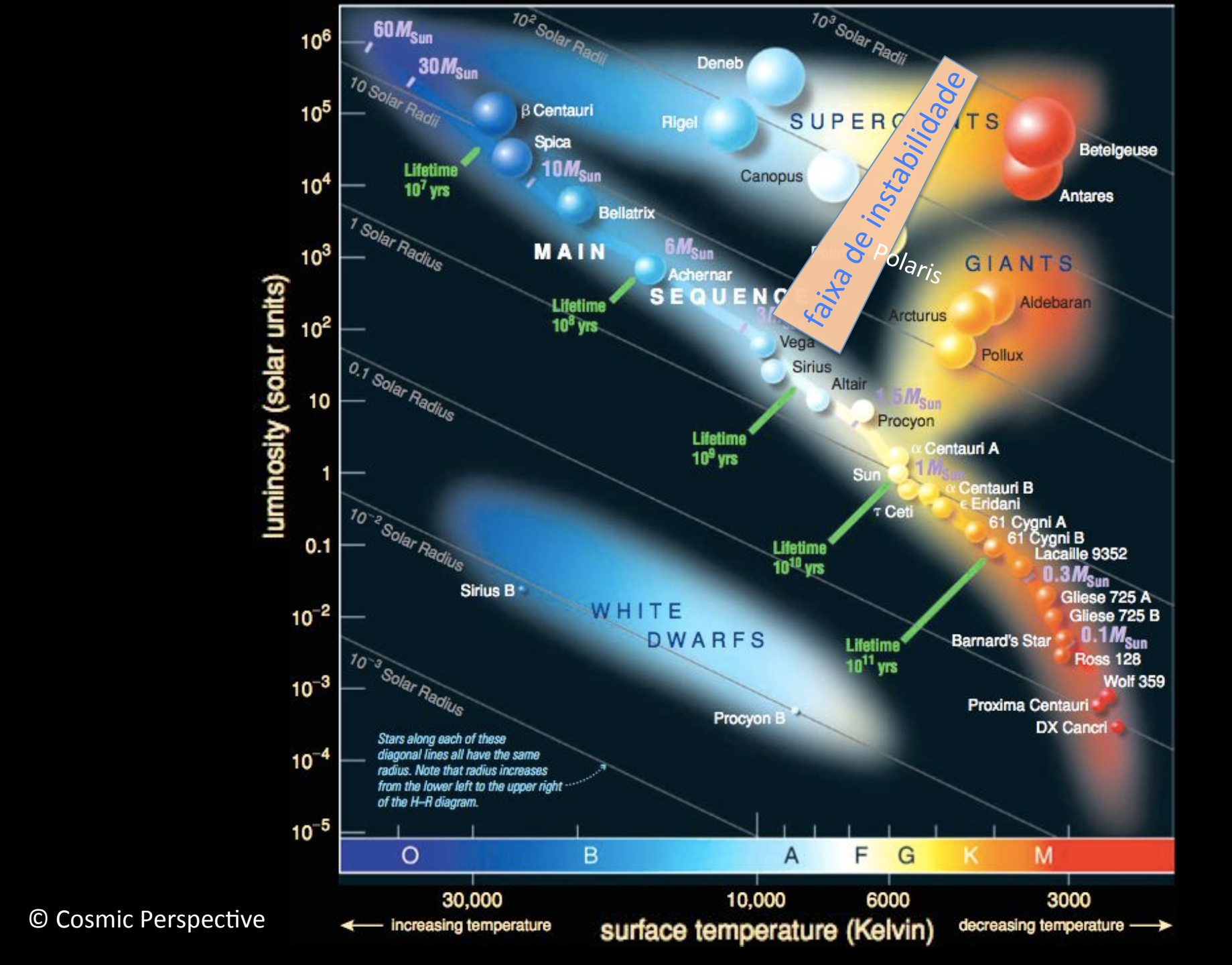
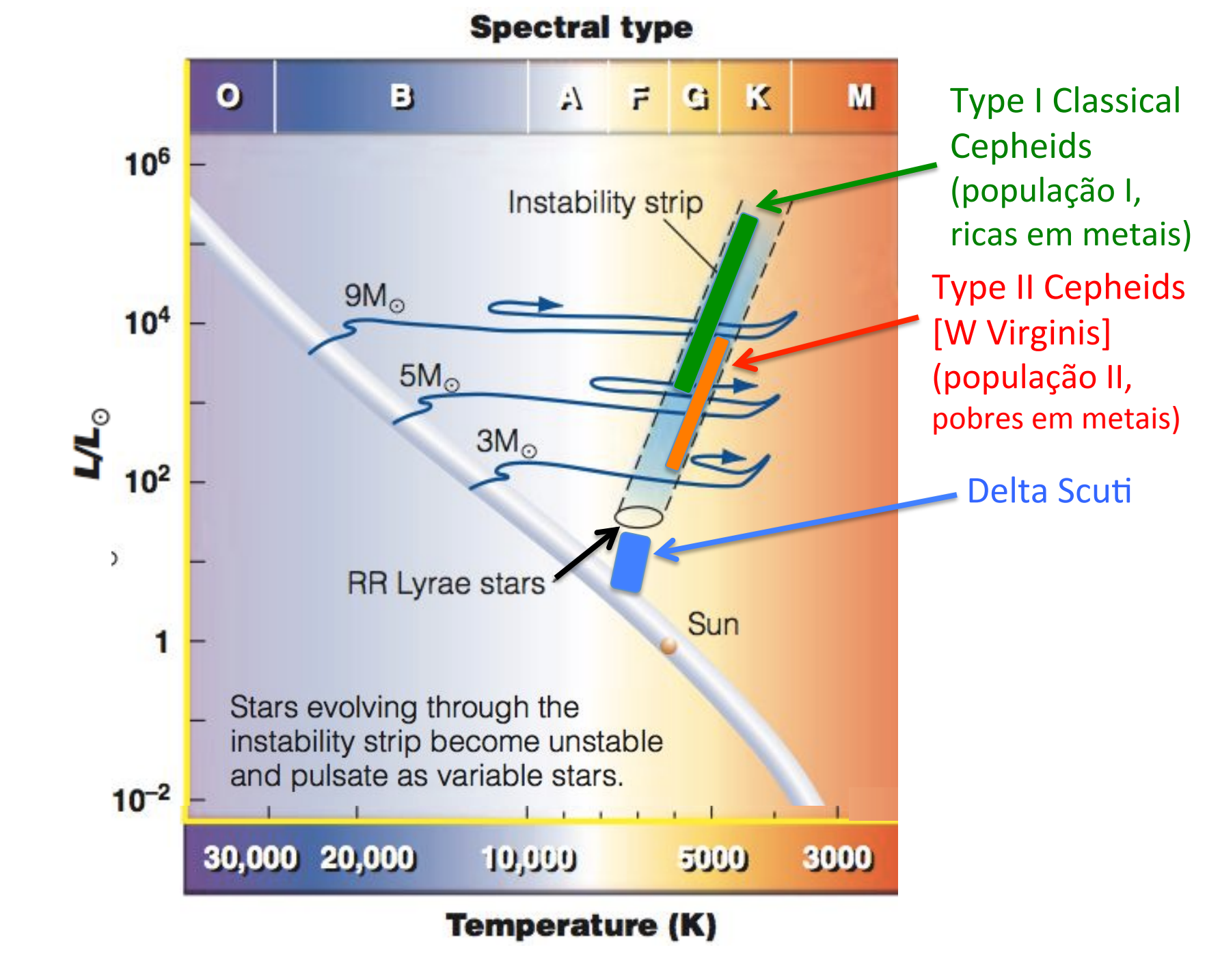


Diagrama HR do aglomerado globular M5







Curva de luz de δ Cephei



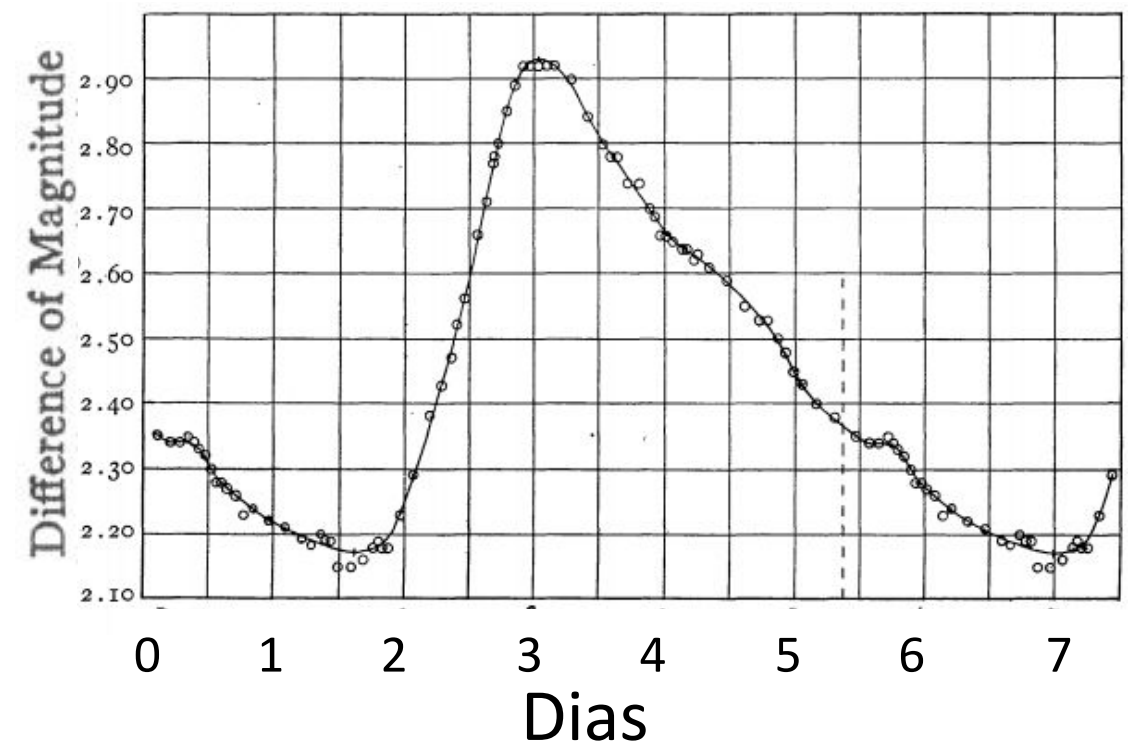


Fig. 14.2. The light curve of δ Cephei. Its pulsation period is 5.37 days.

Figure from Joel Stebbings (1908, ApJ, 27, 188)



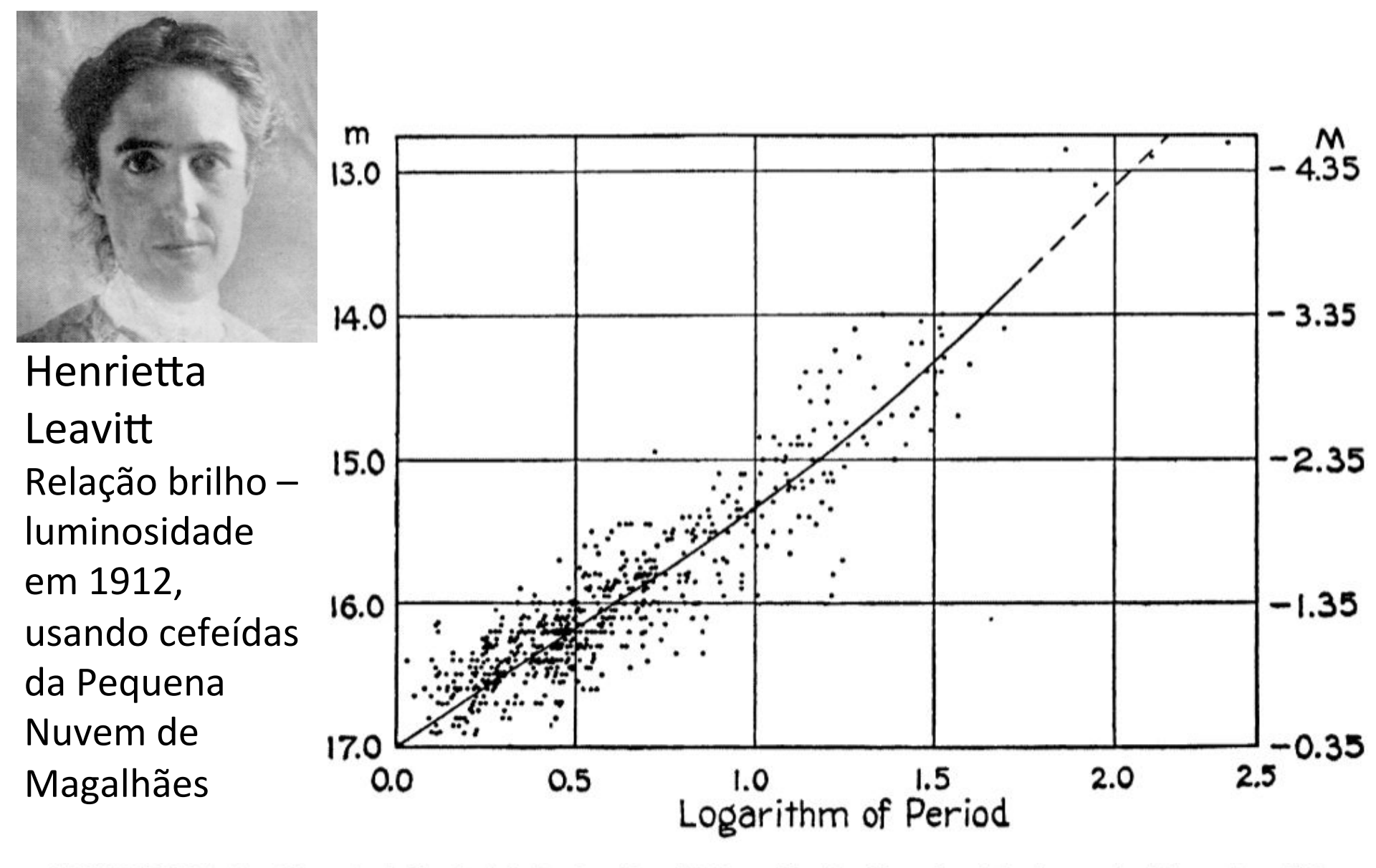


FIGURE 14.4 Classical Cepheids in the Small Magellanic Cloud, with the period in units of days. (Figure from Shapley, *Galaxies*, Harvard University Press, Cambridge, MA, 1961.)

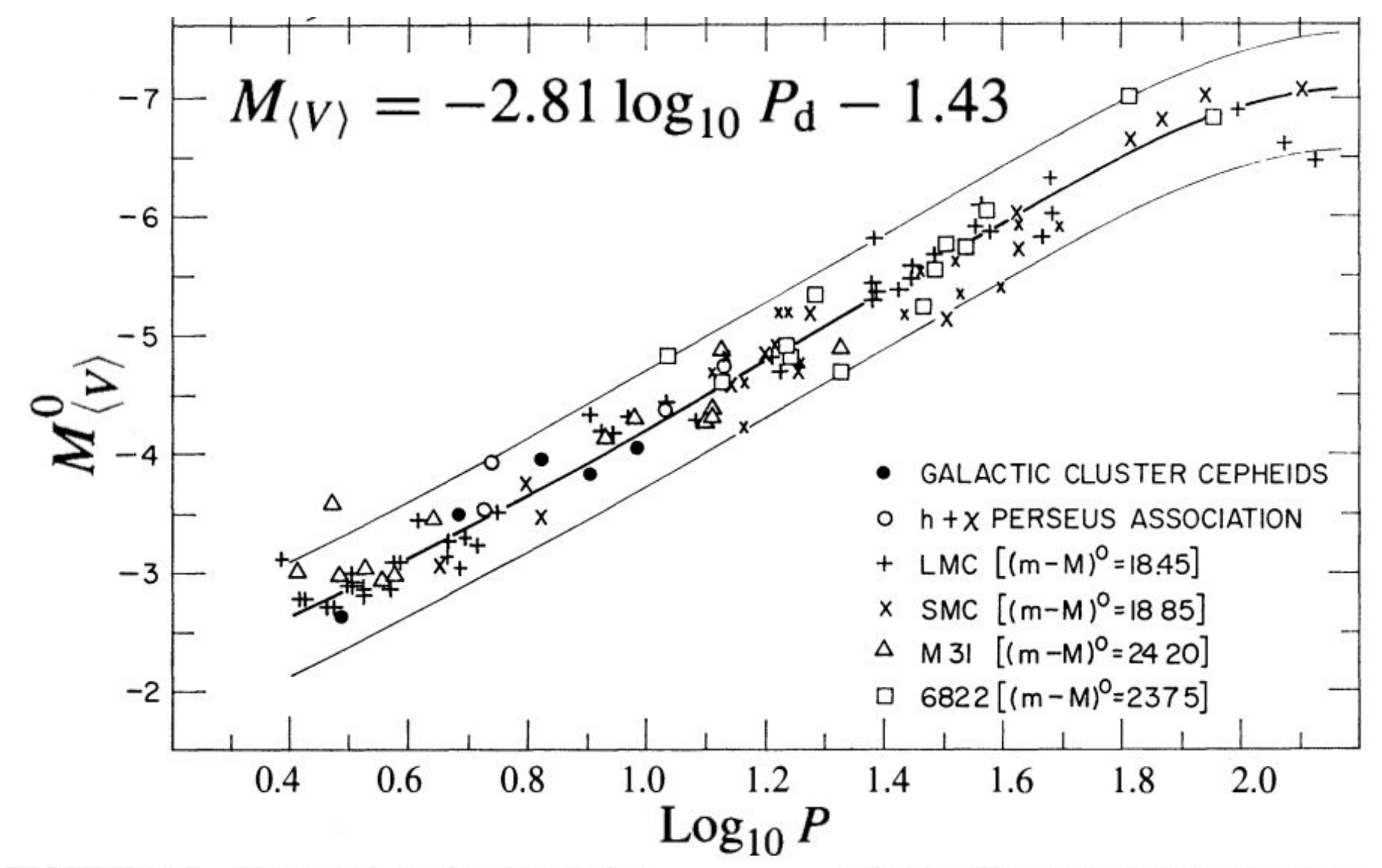


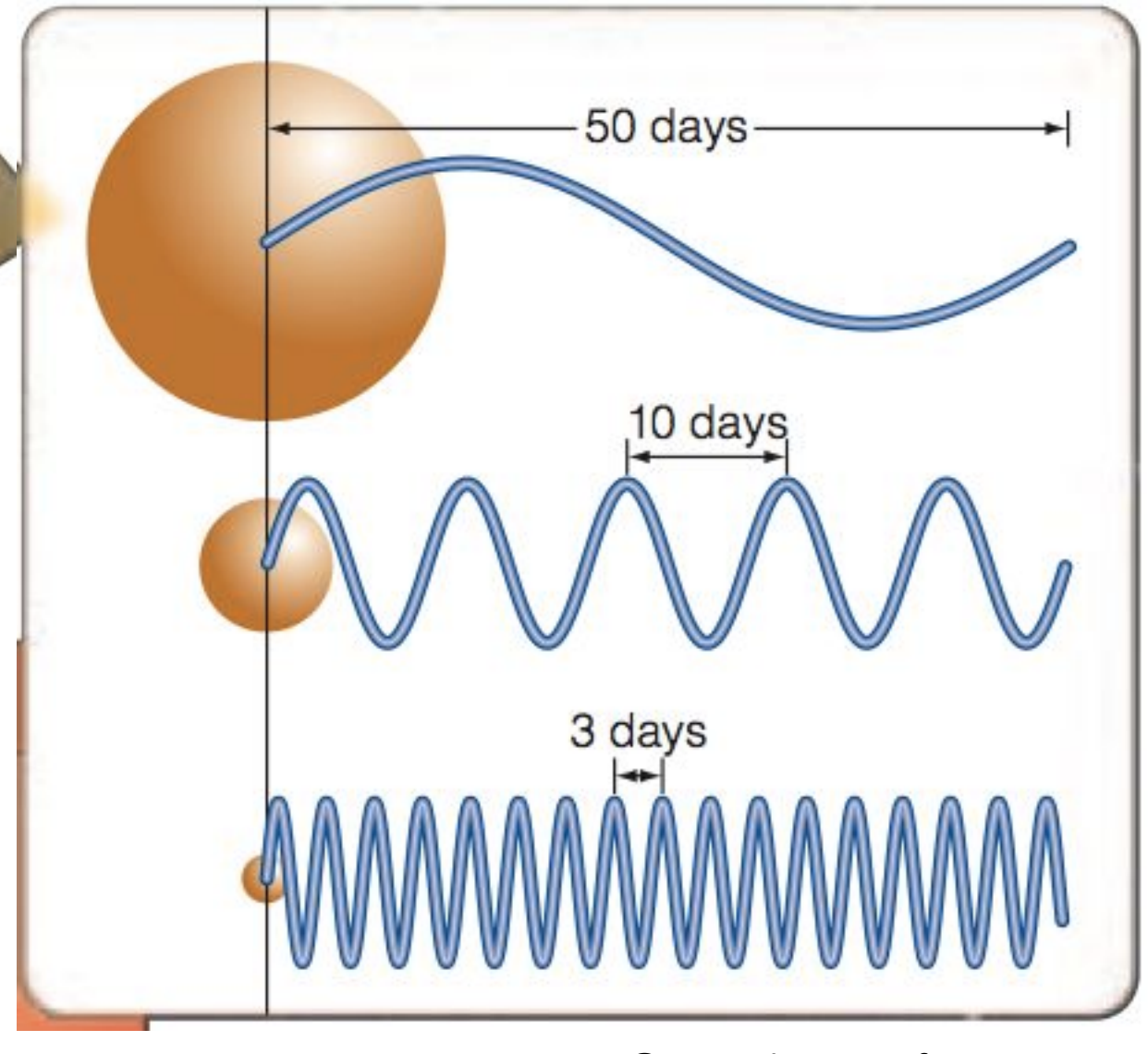
FIGURE 14.5 The period–luminosity relation for classical Cepheids. (Figure adapted from Sandage and Tammann, *Ap. J.*, *151*, 531, 1968.)

More massive stars are more luminous and larger, so they pulsate slower.

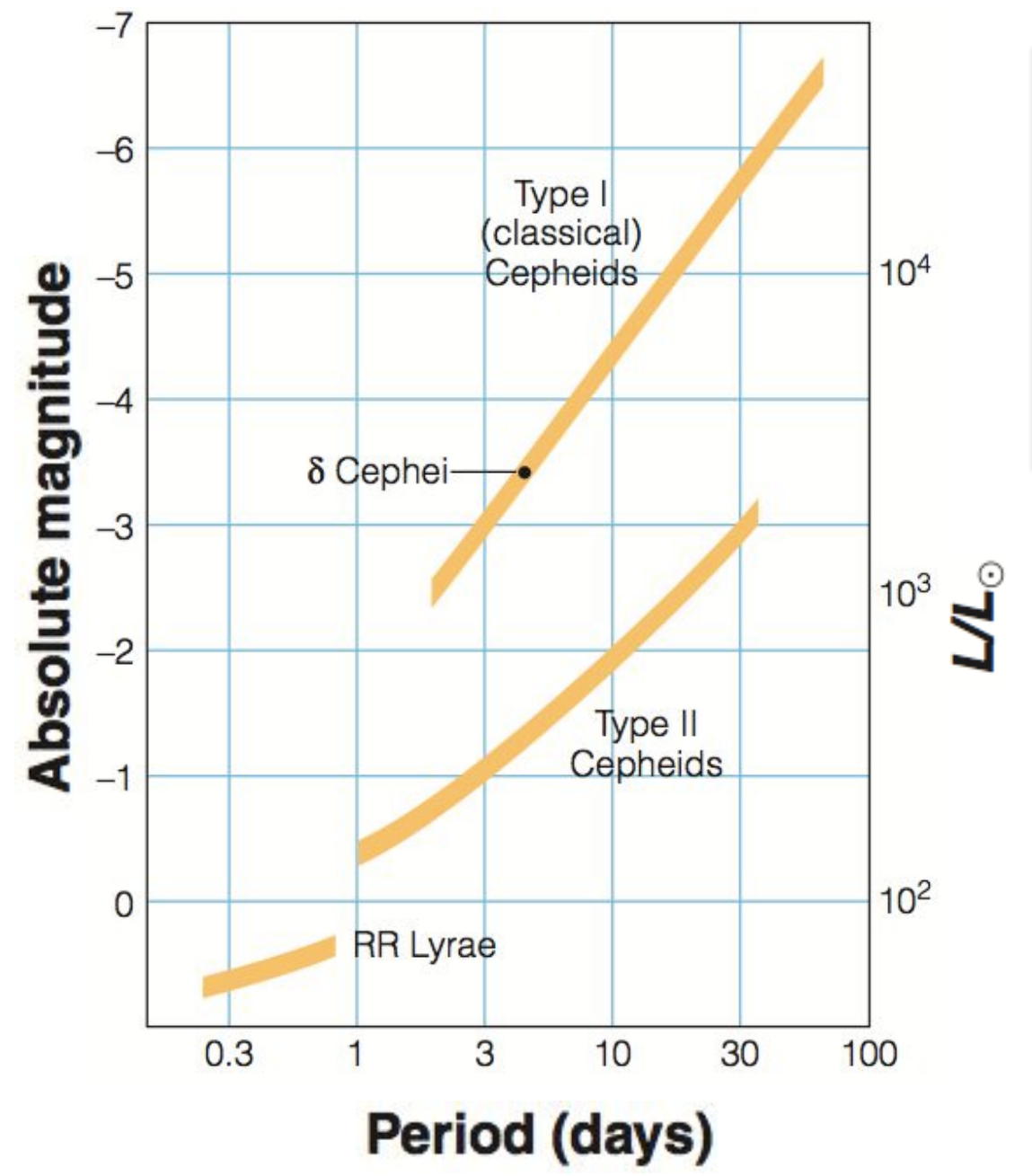
Período de oscilação: (14.6)

$$\Pi pprox \sqrt{\frac{3\pi}{2\gamma G\rho}}$$

$$\gamma \equiv \frac{C_P}{C_V}$$



© Foundations of Astronomy



Período de oscilação: $\Pi \approx \sqrt{\frac{3\pi}{2\gamma G\rho}}$ (14.6) $\gamma \equiv \frac{C_P}{C}$

© Foundations of Astronomy

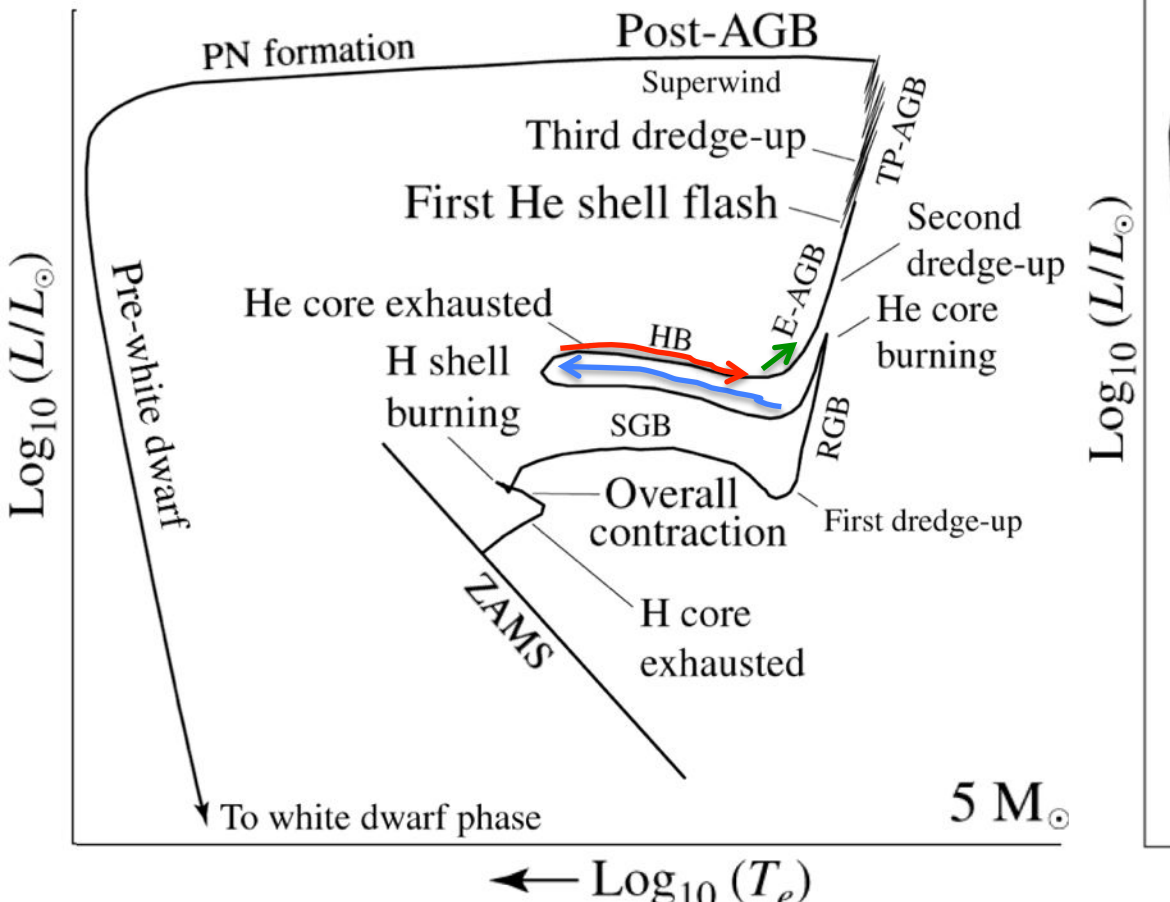
No lado azul "sequência principal" de queima do He, depois μ muito alto \rightarrow núcleo He em contração.

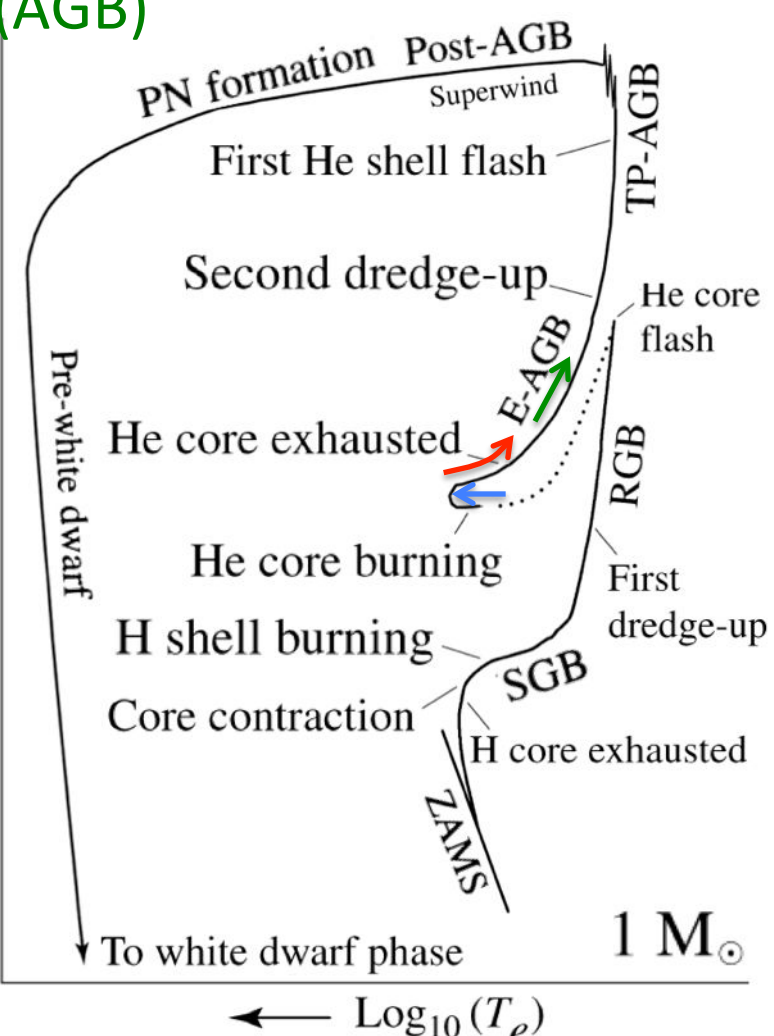
$$P_g = \frac{\rho \kappa I}{\mu m_H}$$

> Expansão do envelope e percurso para o vermelho

Z Expansao do envelope e percurso para o vermemo

Estrela sobe **ramo gigante assimptótico** (AGB) e temos um "second dredge-up"





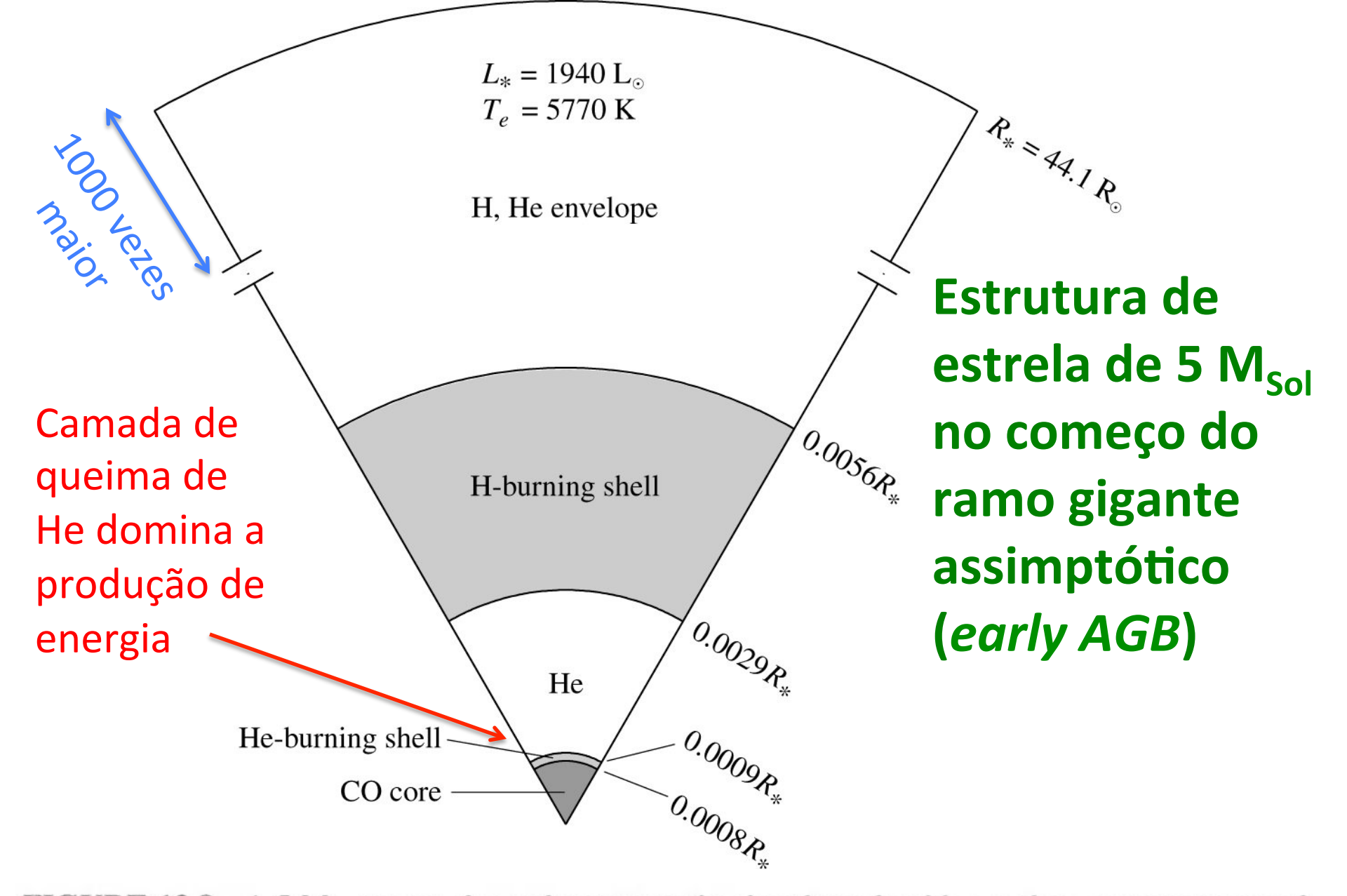


FIGURE 13.8 A 5 M_{\odot} star on the early asymptotic giant branch with a carbon–oxygen core and hydrogen- and helium-burning shells. Note that relative to the surface radius, the scale of the shells and core has been increased by a factor of 100 for clarity. (Data from Iben, *Ap. J.*, *143*, 483, 1966.)

No começo do AGB a produção de energia é

Pulsos térmicos no AGB:

The Thermal-Pulse AGB

dominada pela camada de queima de He, porem ela pode desligar e a queima de H ser ativada. Depois a camada de He é reativada (porem com He degenerado) e temos um He shell flash

H-burning shell

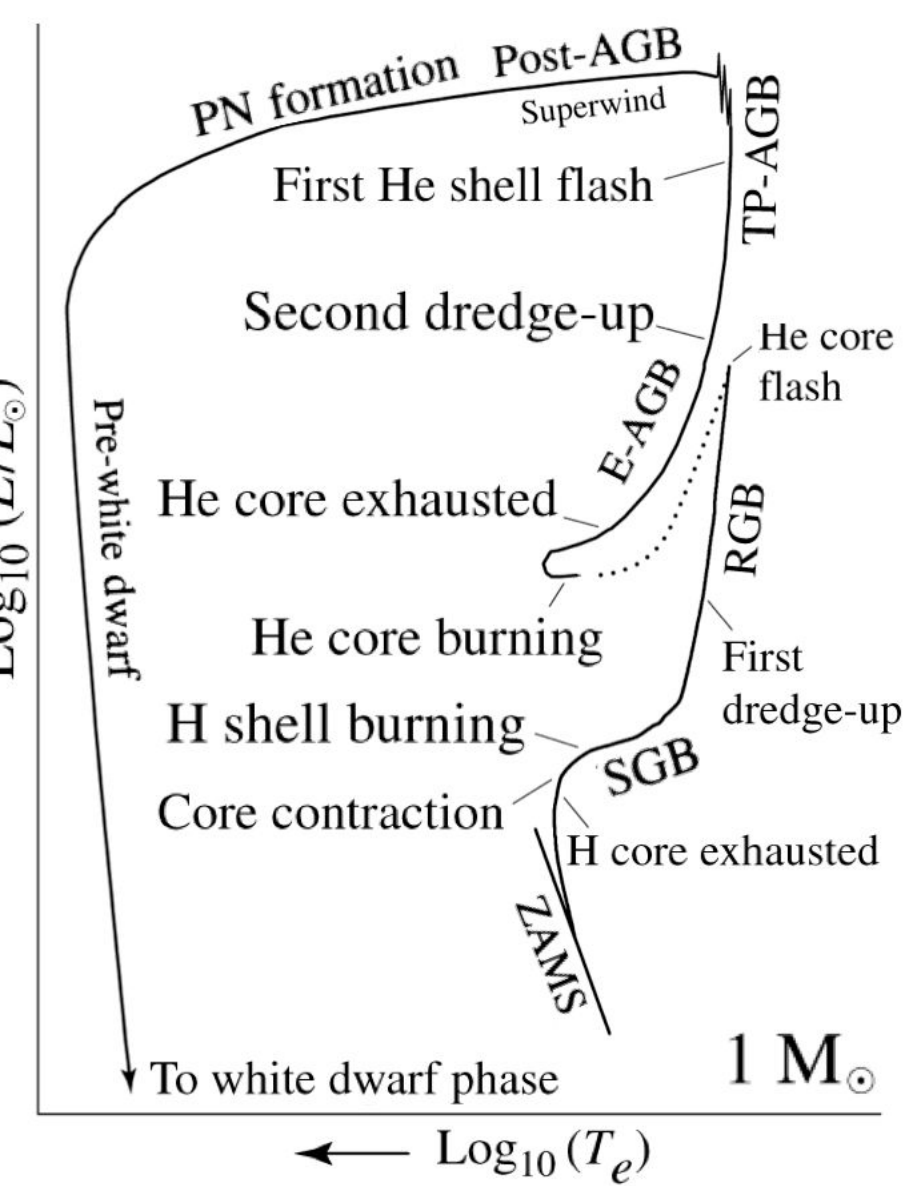
He

He-burning shell

CO core

0.0056R*

 $0.0029_{R_{x}}$



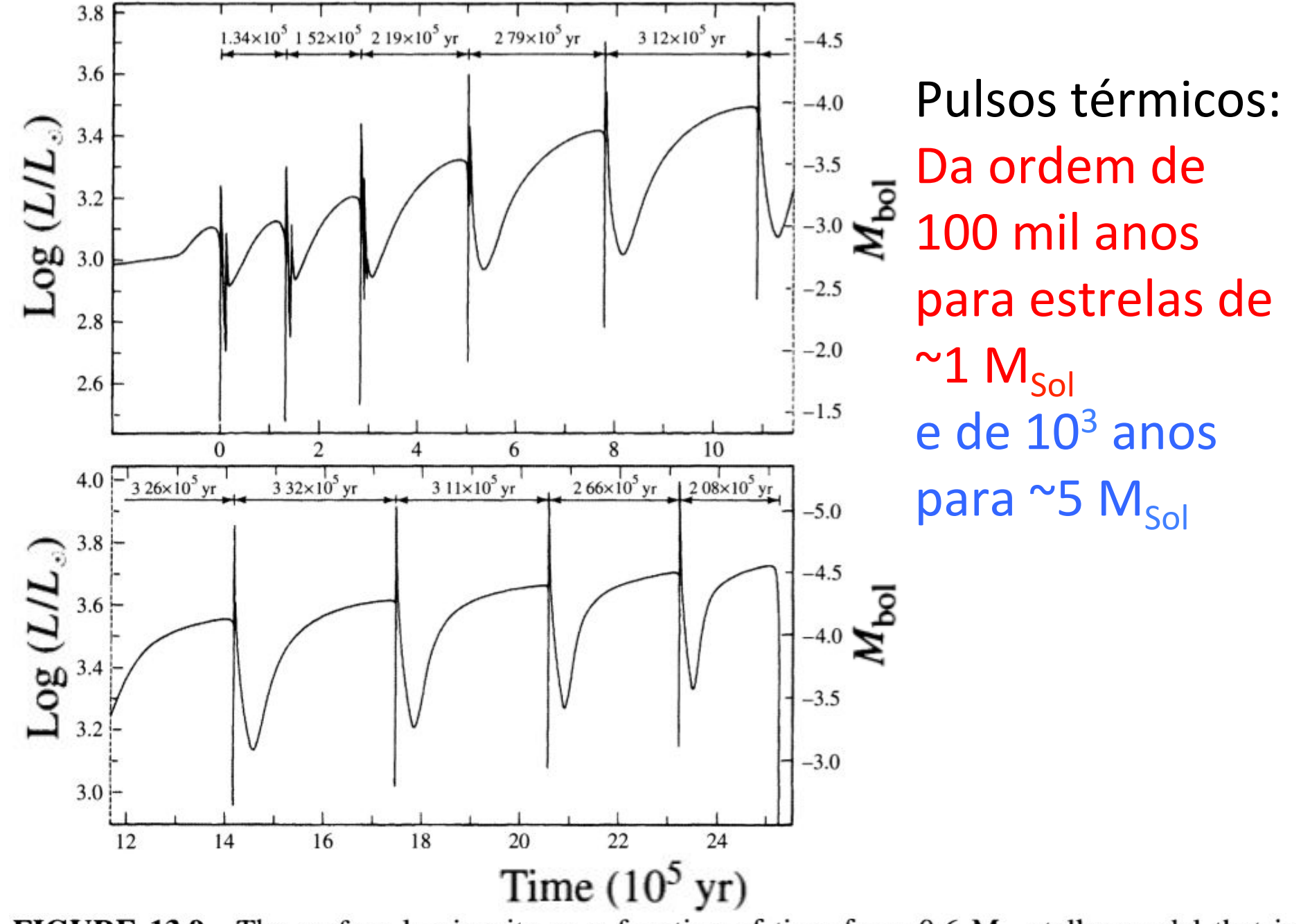
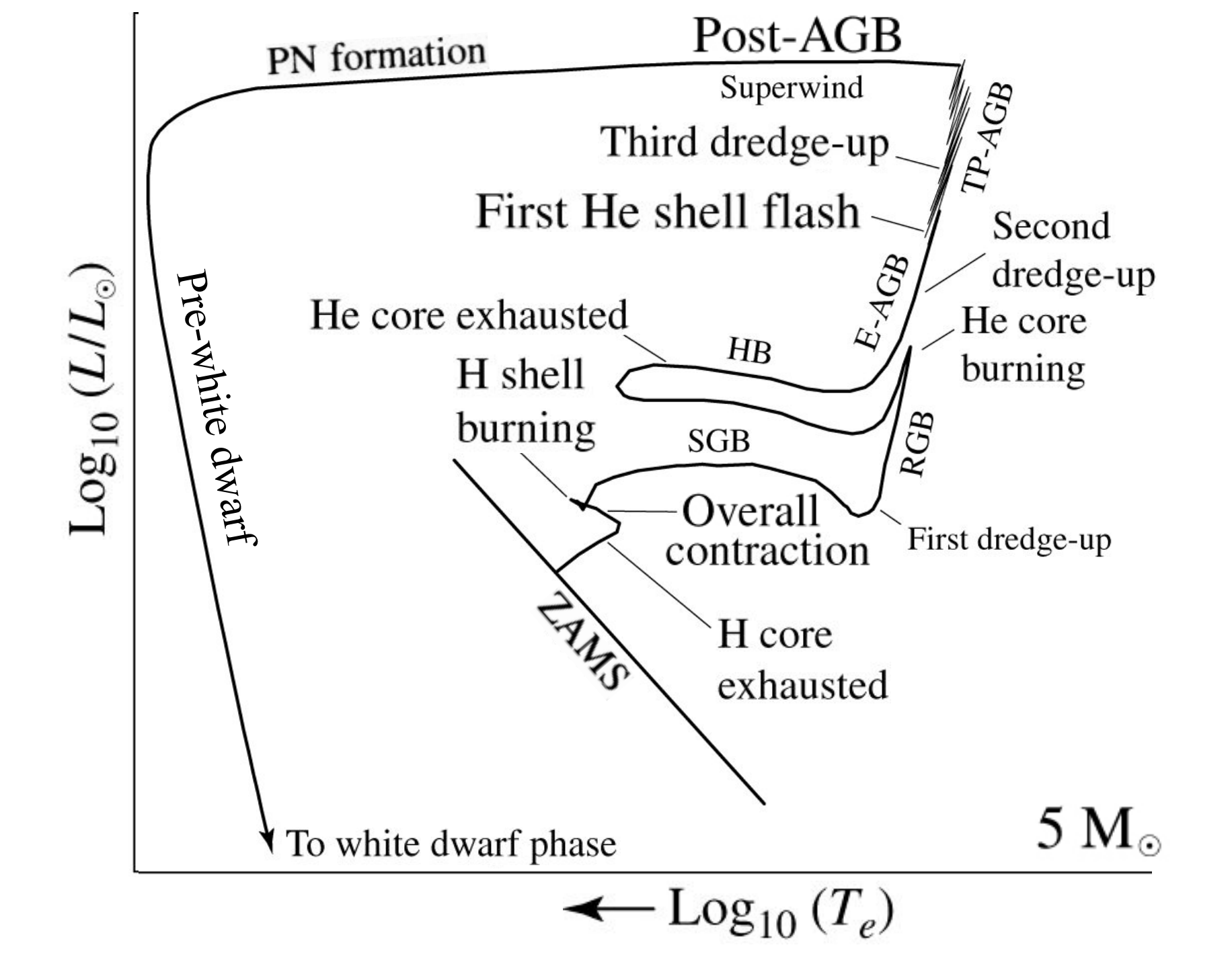


FIGURE 13.9 The surface luminosity as a function of time for a 0.6 M_{\odot} stellar model that is undergoing helium shell flashes on the TP-AGB. (Figure adapted from Iben, Ap. J., 260, 821, 1982.)



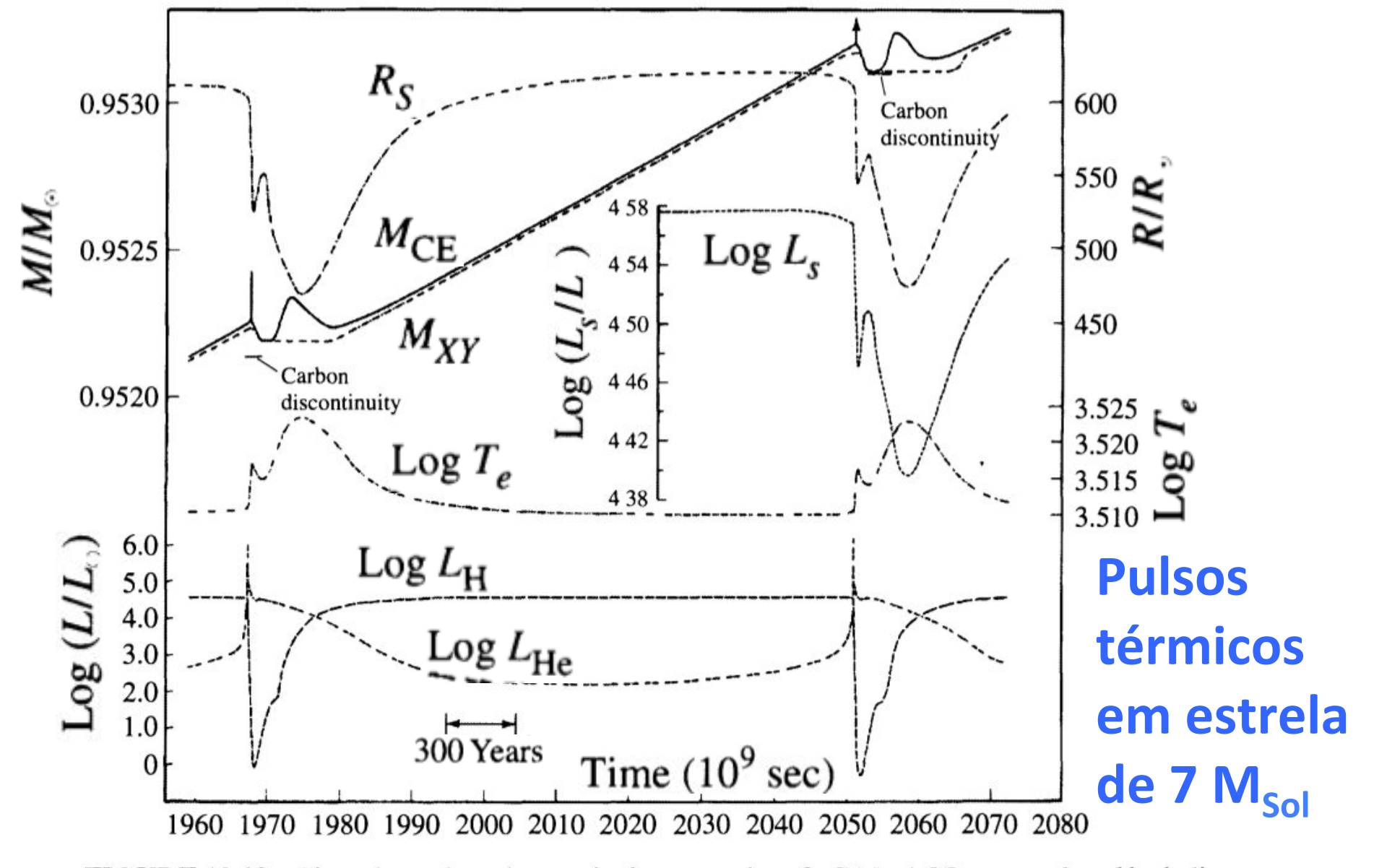
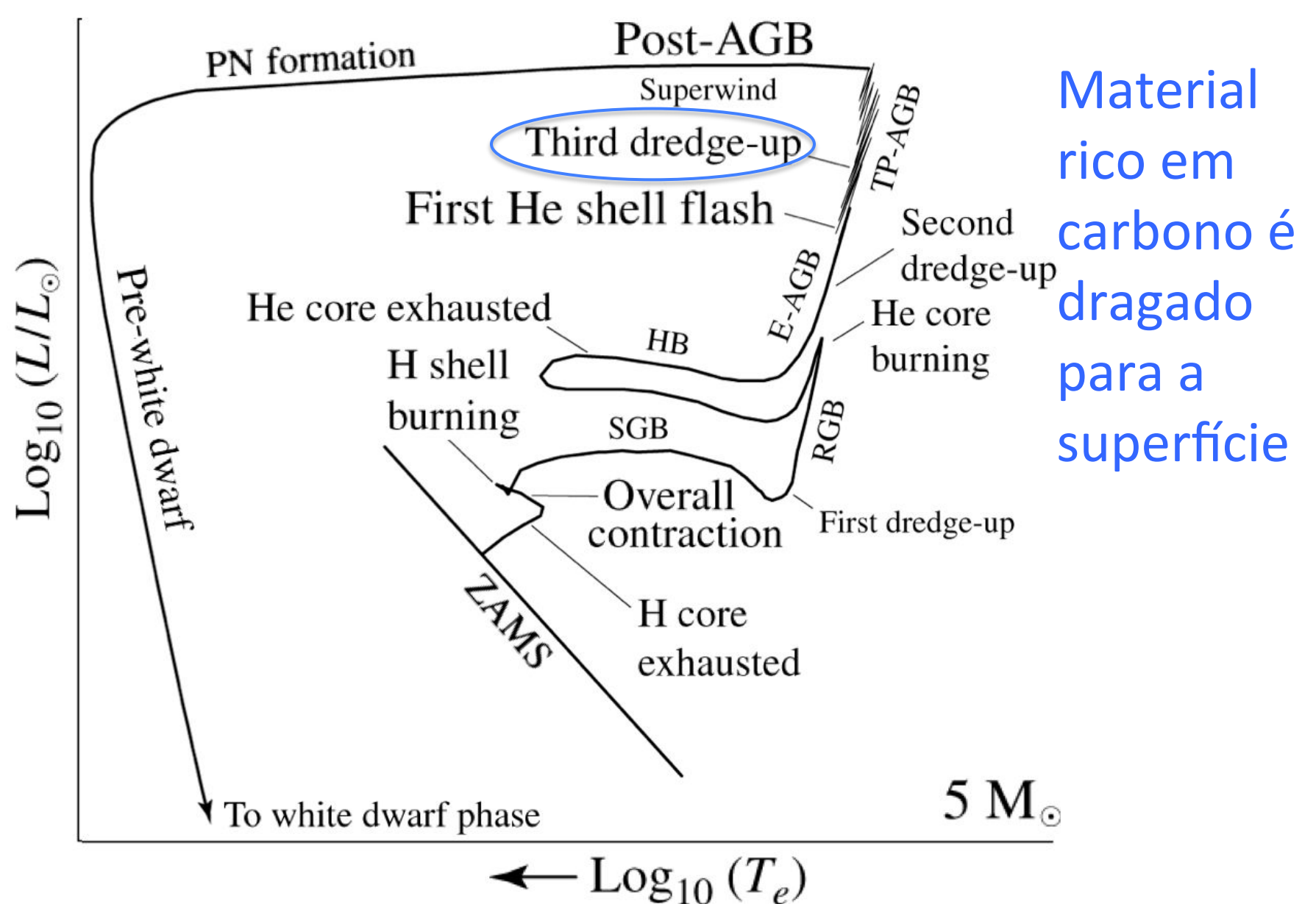


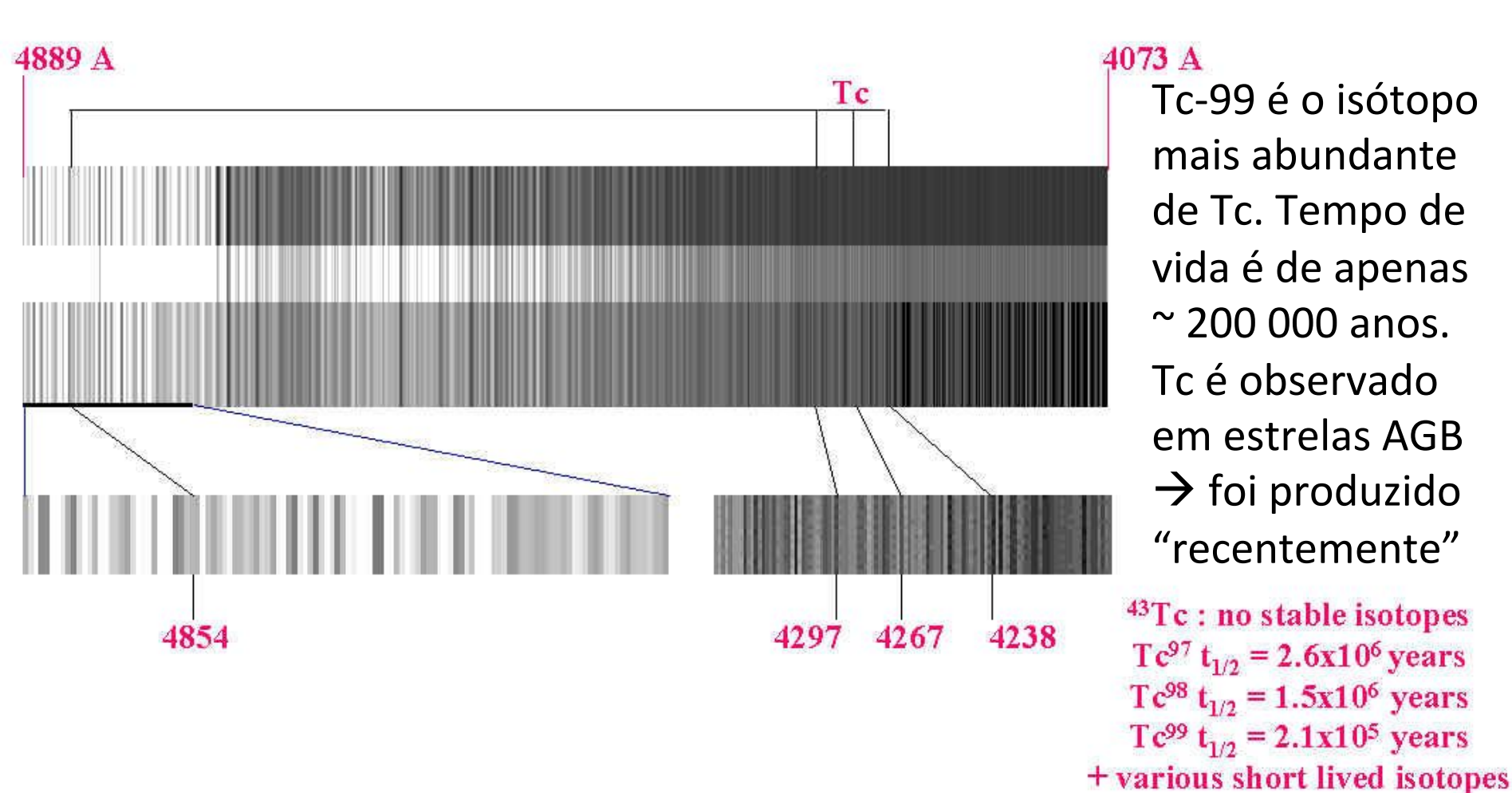
FIGURE 13.10 Time-dependent changes in the properties of a 7 M_{\odot} AGB star produced by helium shell flashes on the TP-AGB. The quantities shown are the surface radius (R_S) , the interior mass fractions of the base of the convective envelope (M_{CE}) and the hydrogen-helium discontinuity (M_{XY}) , the star's luminosity and effective temperature (L_S) and T_e , respectively), and the luminosities of the hydrogen- and helium-burning shells (L_H) and L_{He} , respectively). (Figure adapted from Iben, Ap. J.,

Terceira dragagem: Third dredge-up



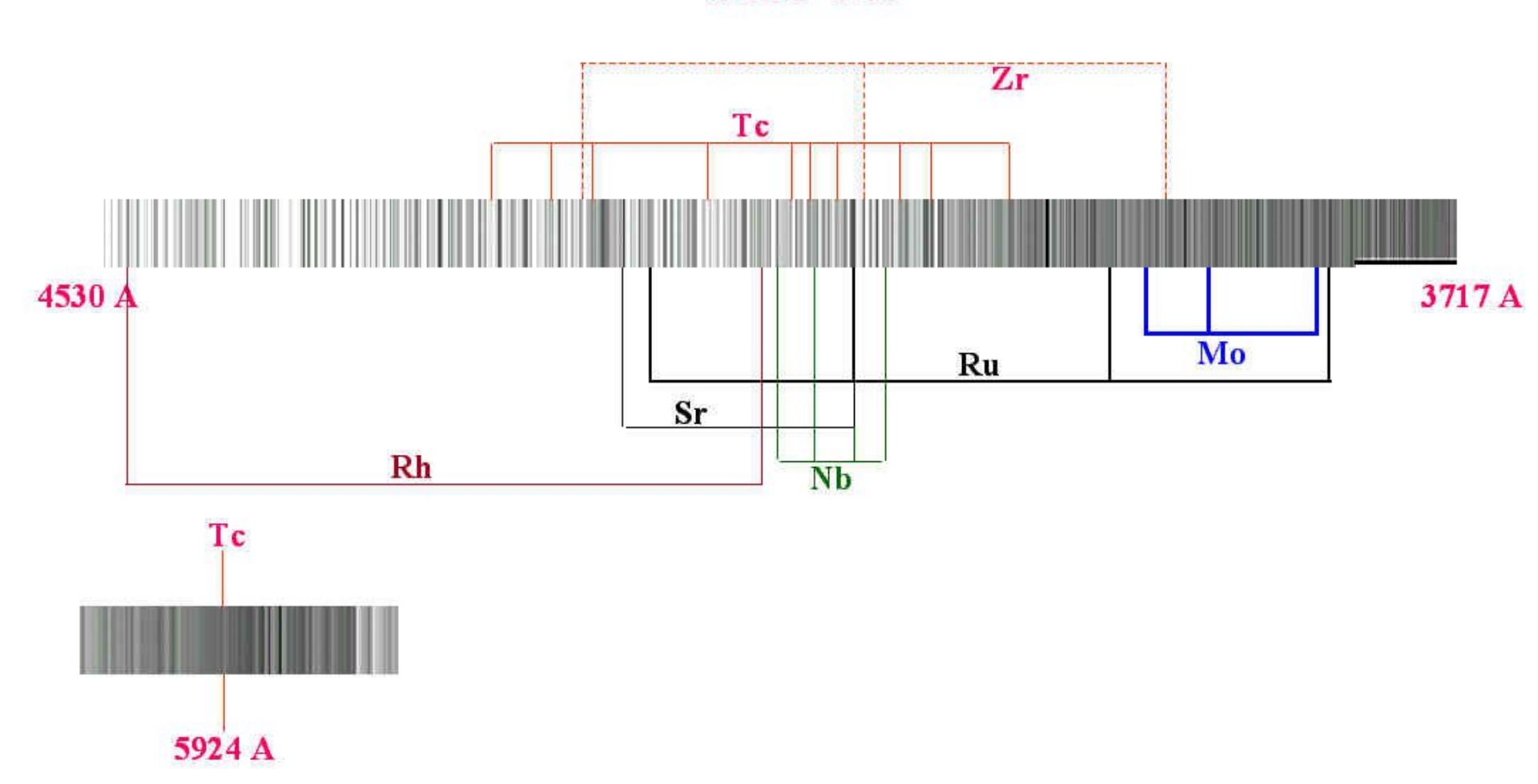
Carbon stars: tipo espectral C 6 Fluxo relativo 2 CO 0 0.5 1.5 2.5 2 Wavelength (μm)

Identification of Technetium in 19 Piscium C5II star, 4.95 magnitude



Produção de outros elementos pesados por captura de nêutrons (processo-s [slow]) em estrelas AGB



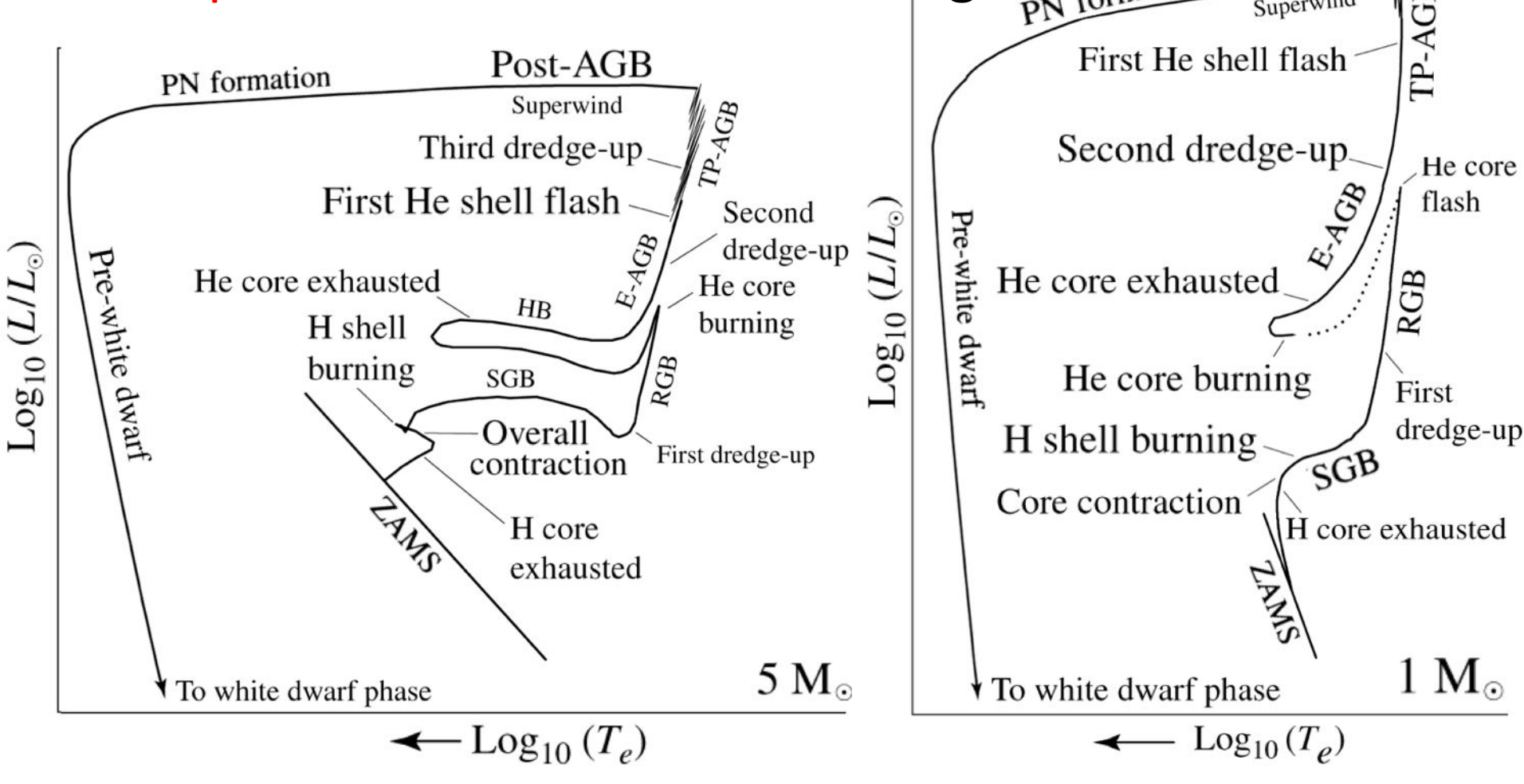


Perda de massa na fase AGB

A perda de massa é acentuada nos pulsos térmicos

formação de nebulosa planetária e núcleo degenerado

fica exposto → anã branca → anã negra



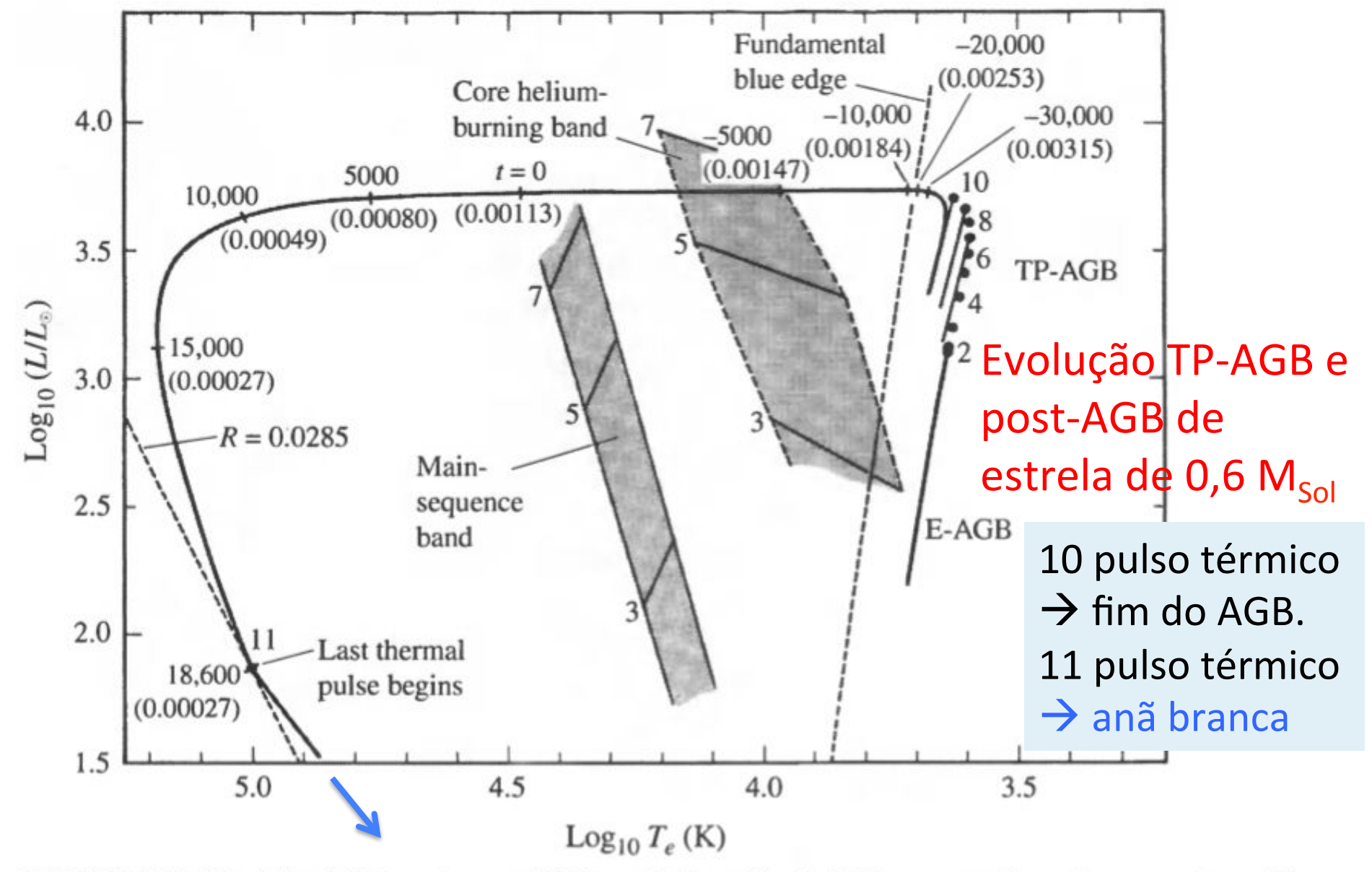


FIGURE 13.12 The AGB and post-AGB evolution of a 0.6 M_{\odot} star undergoing mass loss. The initial composition of the model is X = 0.749, Y = 0.25, and Z = 0.001. The main-sequence and horizontal branches of 3, 5, and 7 M_{\odot} stars are shown for reference. Details of the figure are discussed in the body of the text. (Figure adapted from Iben, Ap. J., 260, 821, 1982.)



Cat's eye Planetary Nebula



495.89-nm forbidden lines of [O III] (forbidden lines of [O II] and [Ne III] are also common), and the reddish coloration comes from ionized hydrogen and nitrogen. Characteristic temperatures of these objects are in the range of the ionization temperature of hydrogen, 10⁴ K.

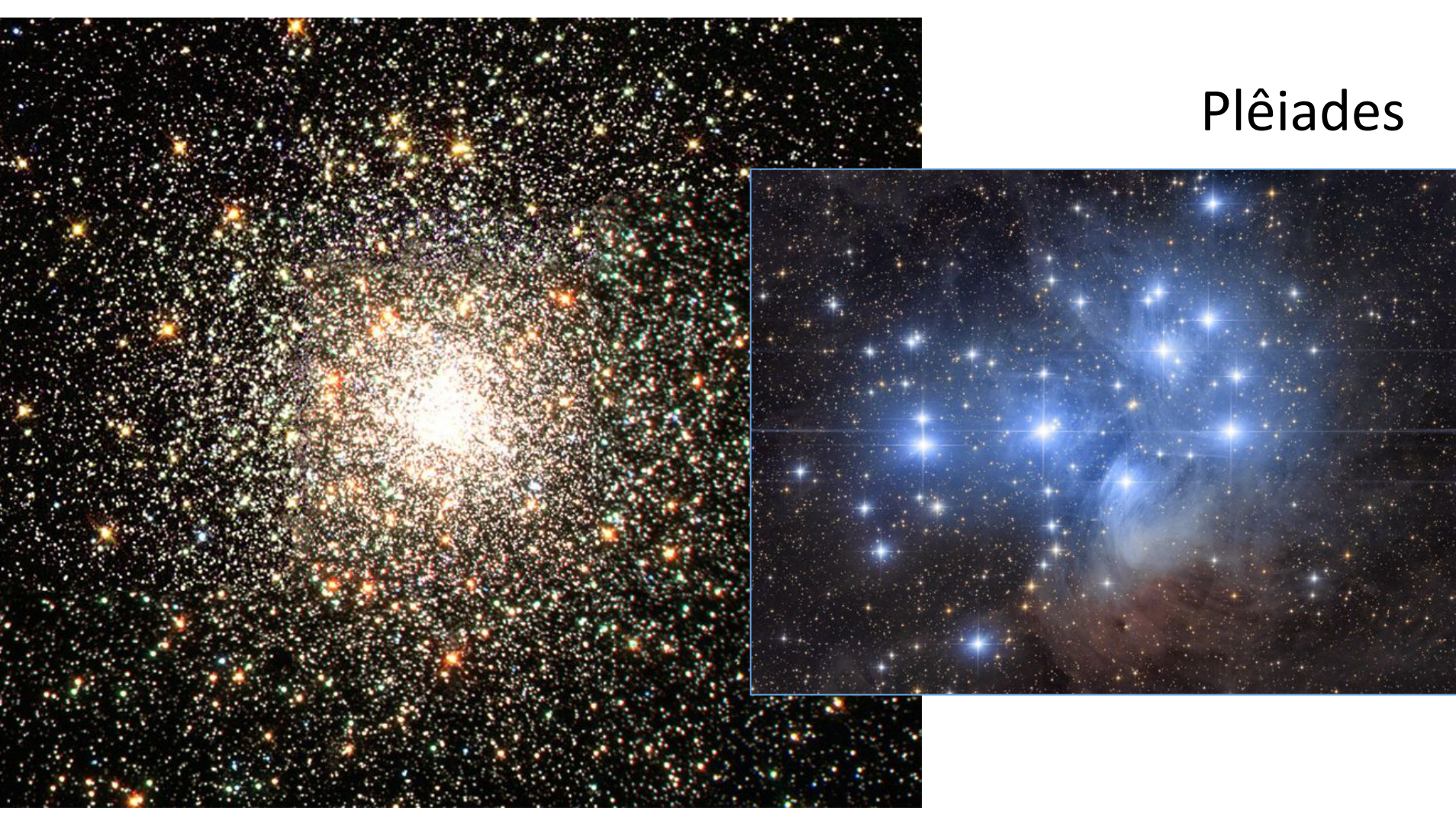


Aglomerados estelares e Populações estelares

- População III: Z = 0 (hypothetical)
- População II: estrelas muito antigas e pobres em metais (Z <<< 0,02). Estrelas do Halo da Galáxia. Aglomerados globulares.
- População I: estrelas mais jovens e com metalicidade próxima da solar (Z ~ 0,02). Estrelas do disco da Galáxia. Aglomerados abertos.

Aglomerados globulares e abertos

M80



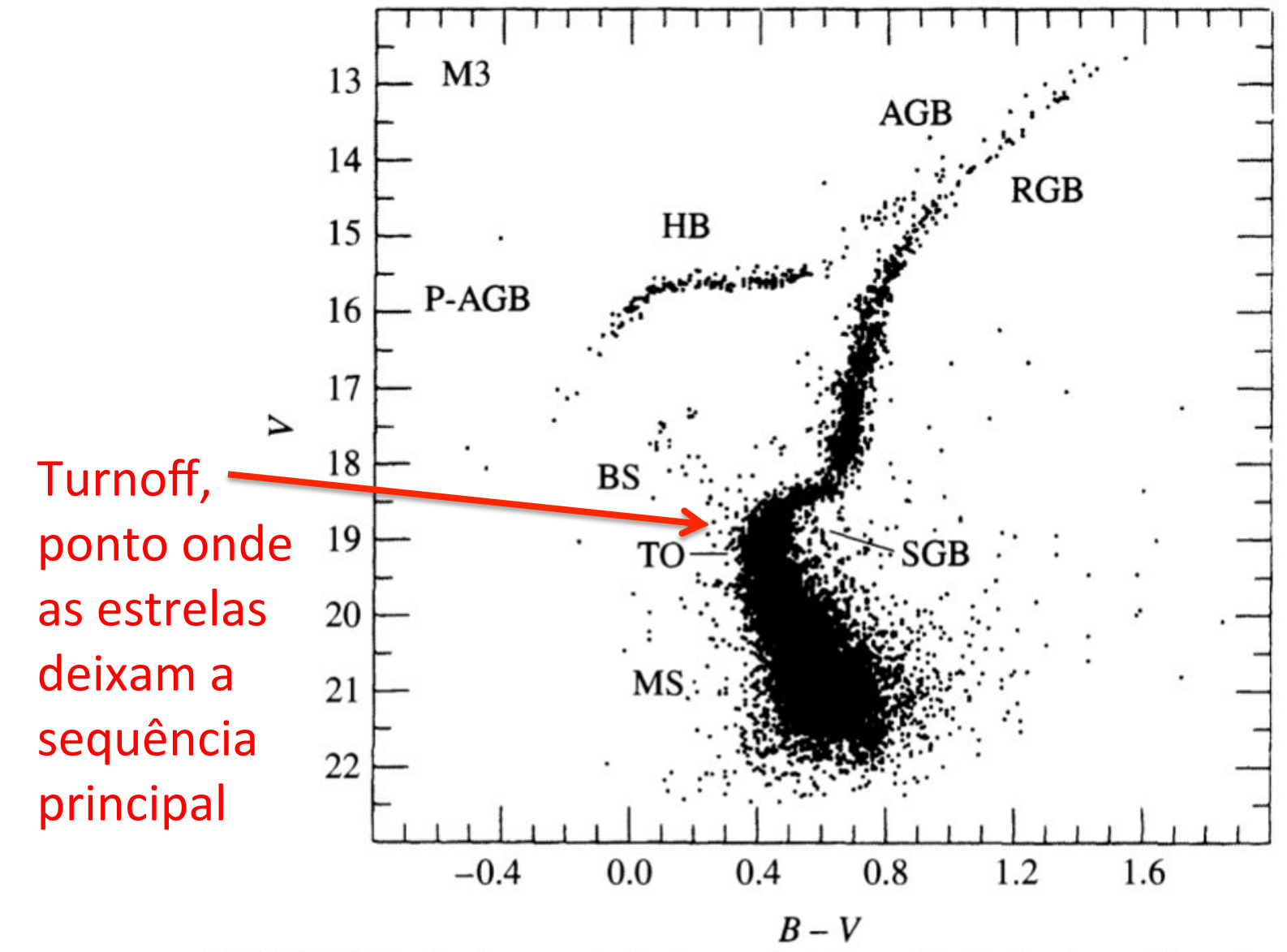


FIGURE 13.17 A color-magnitude diagram for M3, an old globular cluster. The major phases of stellar evolution are indicated: main sequence (MS); blue stragglers (BS); the main-sequence turn-off point (TO); the subgiant branch of hydrogen shell burning (SGB); the red giant branch along the Hayashi track, prior to helium core burning (RGB); the horizontal branch during helium core burning (HB); the asymptotic giant branch during hydrogen and helium shell burning (AGB); post-AGB evolution proceeding to the white dwarf phase (P-AGB). (Figure adapted from Renzini and Fusi

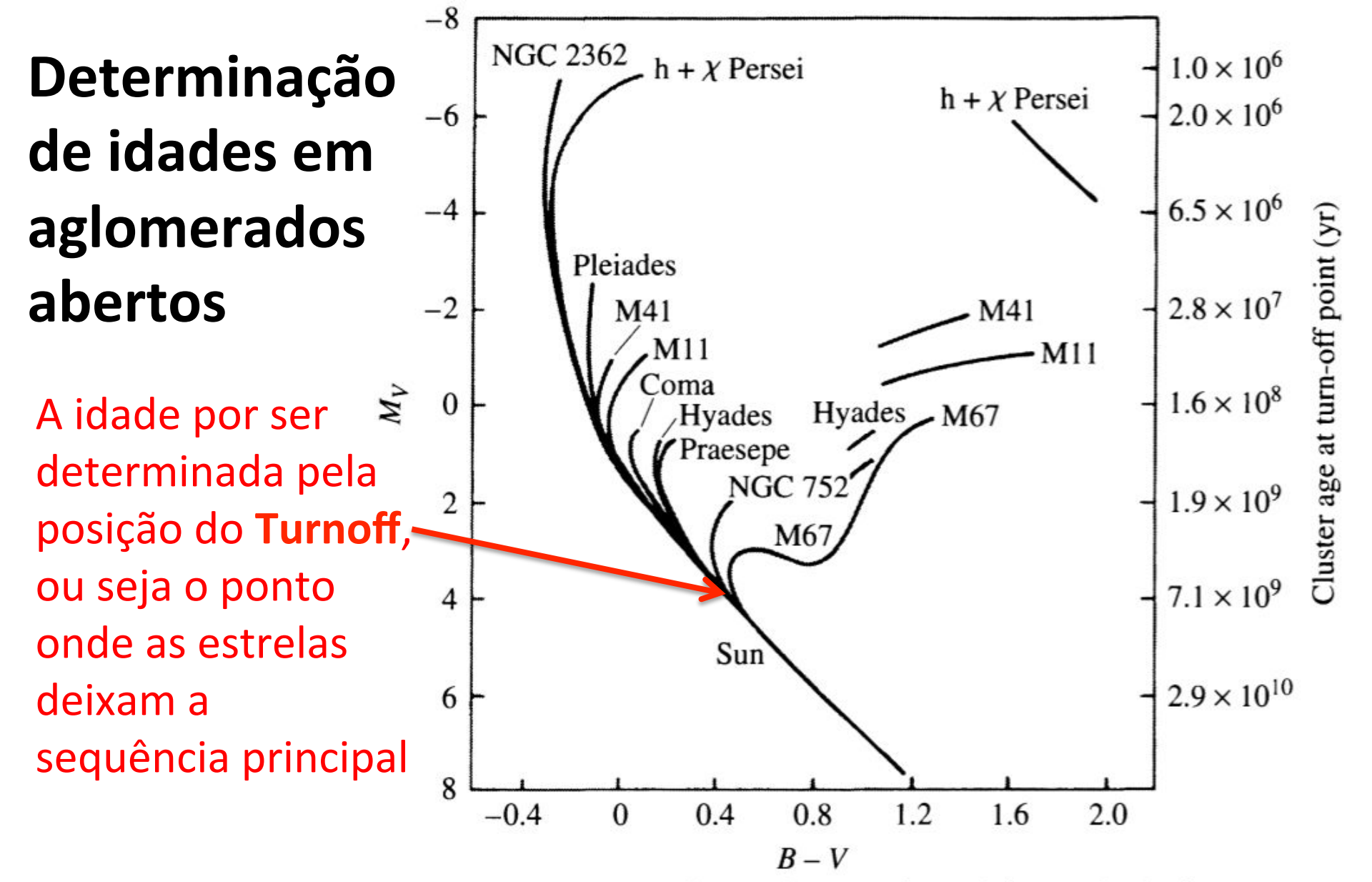
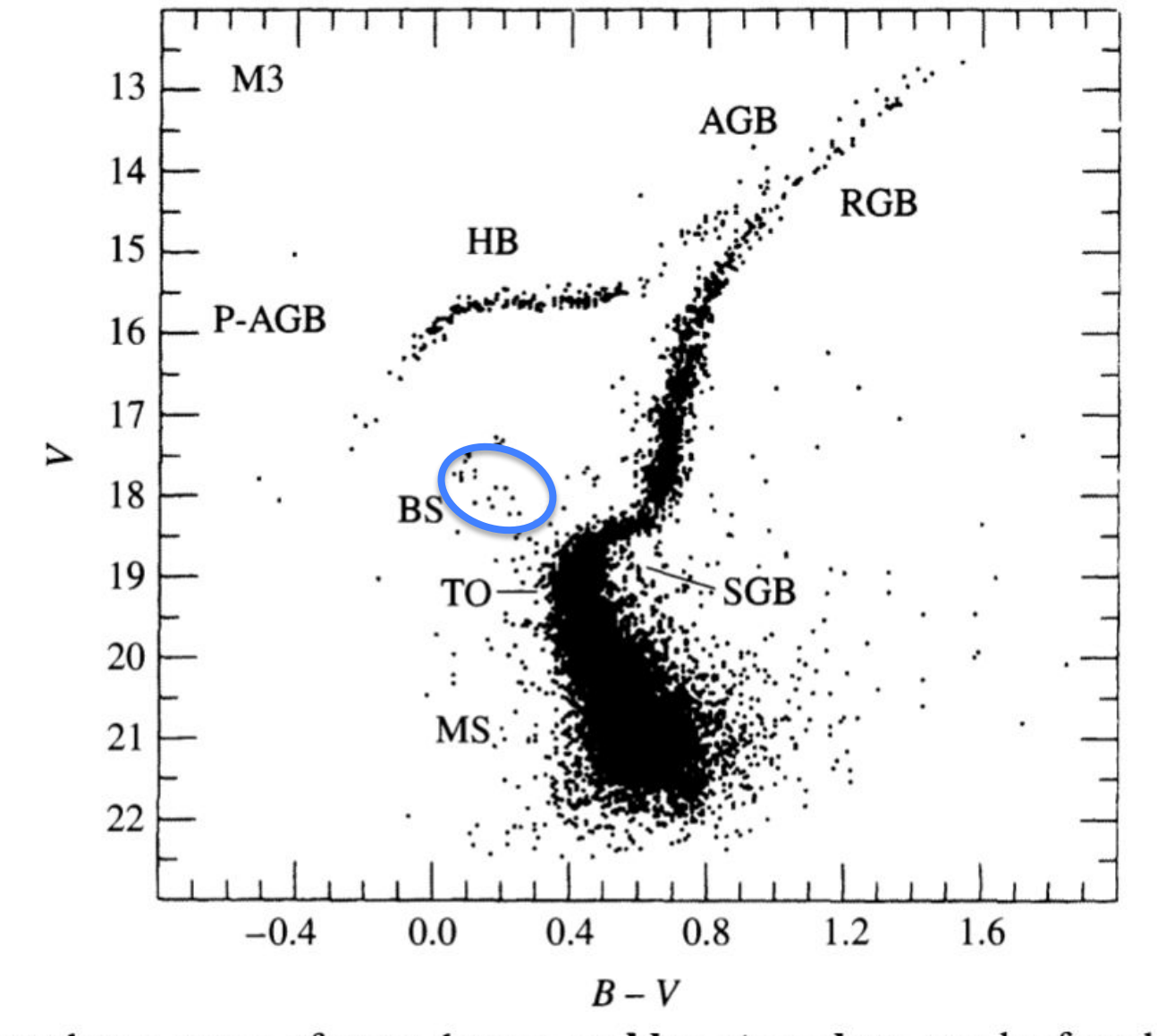


FIGURE 13.19 A composite color-magnitude diagram for a set of Population I galactic clusters. The absolute visual magnitude is indicated on the left-hand vertical axis, and the age of the cluster, based on the location of its turn-off point, is labeled on the right-hand side. (Figure adapted from an original diagram by A. Sandage.)



Blue Stragglers

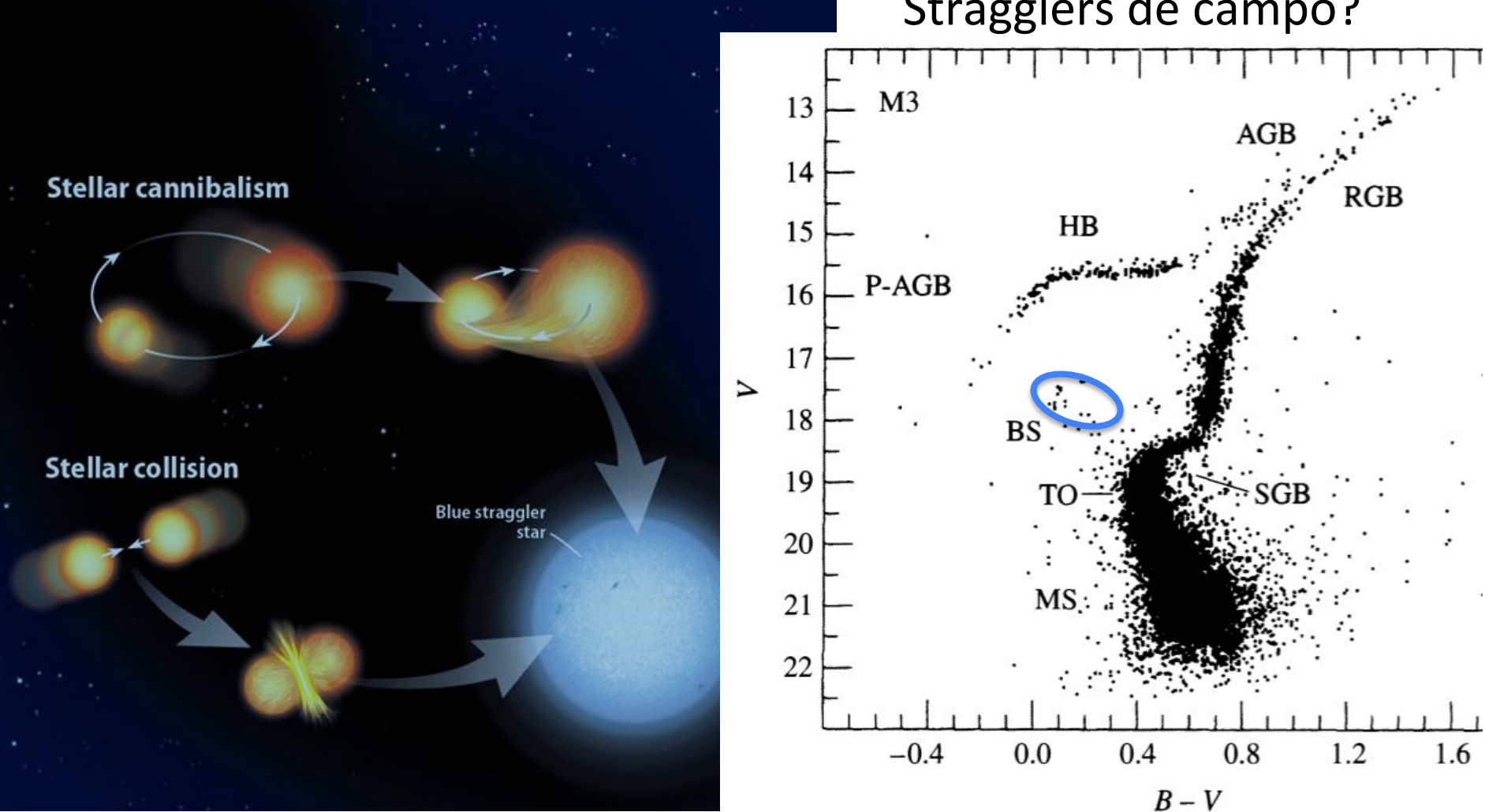
It should be pointed out that a group of stars, known as **blue stragglers**, can be found above the turn-off point of M3. Although our understanding of these stars is incomplete, it appears that their tardiness in leaving the main sequence is due to some unusual aspect of their evolution. The most likely scenarios appear to be mass exchange with a binary star companion, ¹⁴ or collisions between two stars, extending the star's main-sequence lifetime.

Blue Straggler: two channels:

- Collision or
- Mass transfer ("cannibalism")

Em aglomerado é fácil identificar Blue Stragglers.

Como identificar Blue Stragglers de campo?



A&A 584, A116 (2015)

DOI: 10.1051/0004-6361/201527303

© ESO 2015



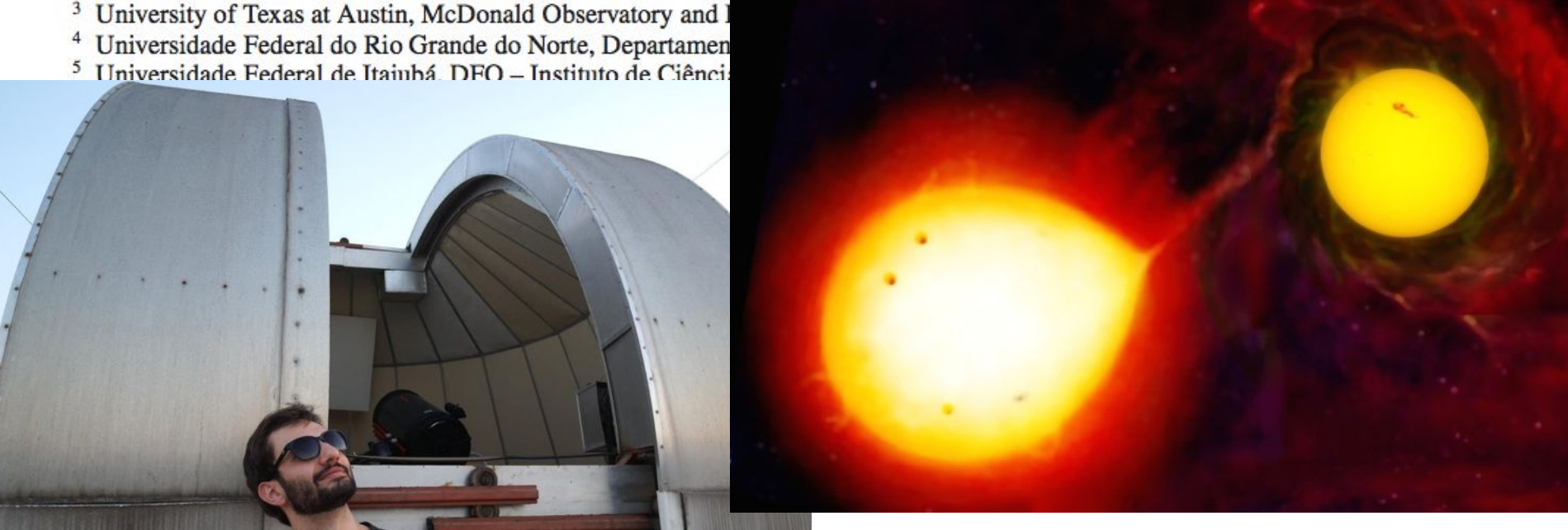
Trabalho de IC de Lucas Schirbel: identificar sistema Blue Straggler em estrela gêmea do Sol

HIP 10725: The first solar twin/analogue field blue straggler*,**

Lucas Schirbel¹, Jorge Meléndez¹, Amanda I. Karakas², Iván Ramírez³, Matthieu Castro⁴, Marcos A. Faria⁵, Maria Lugaro⁶, Martin Asplund², Marcelo Tucci Maia¹, David Yong², Louise Howes², and José D. do Nascimento Jr.^{4,7}

Universidade de São Paulo, Departamento de Astronomia do IAG/USP, Rua do Matão 1226, Cidade Universitária, 05508-900 São Paulo, SP, Brazil e-mail: lucas.schirbel@usp.br

² The Australian National University, Research School of As

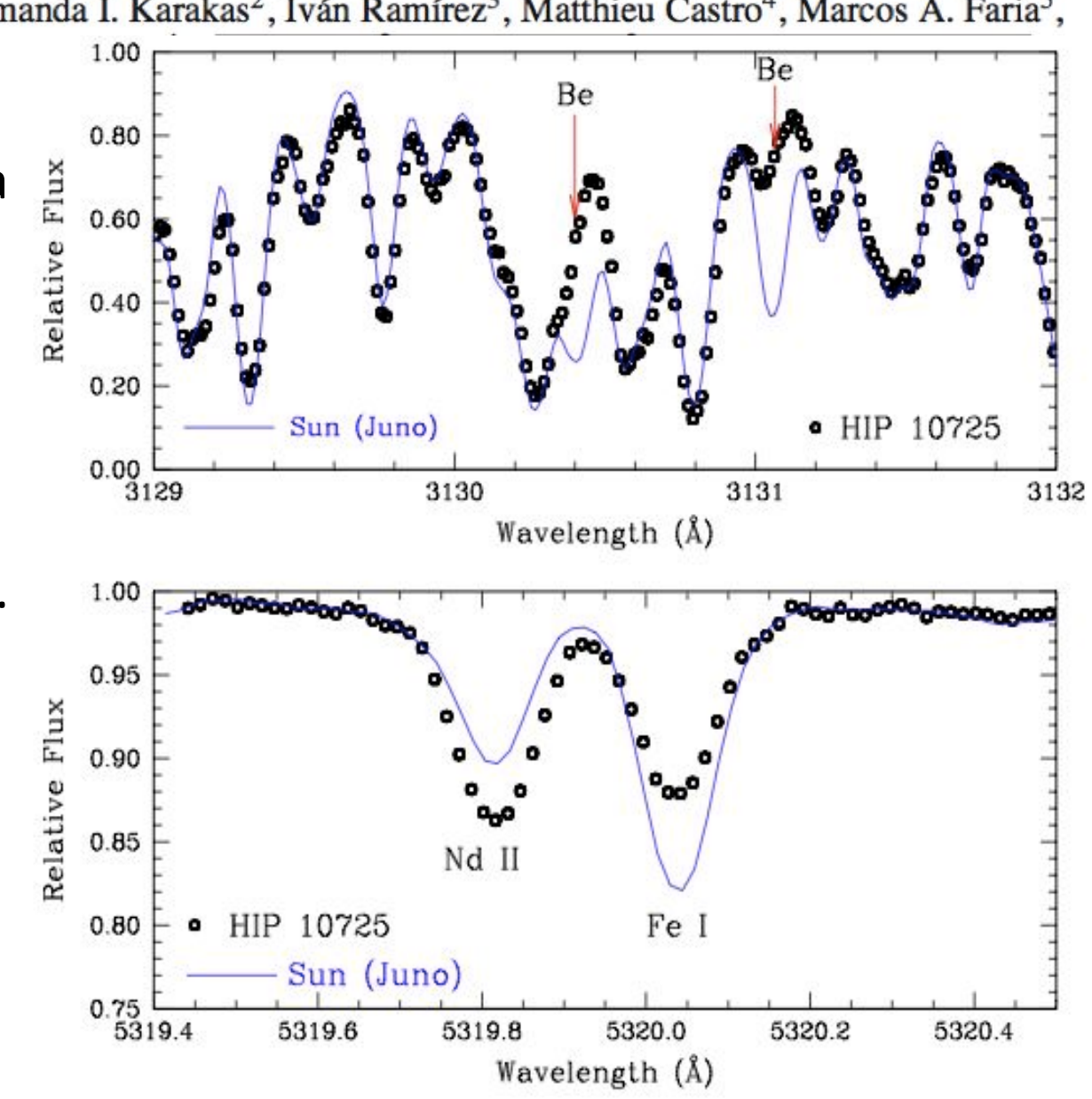


HIP 10725: The first solar twin/analogue field blue straggler*,**

Lucas Schirbel¹, Jorge Meléndez¹, Amanda I. Karakas², Iván Ramírez³, Matthieu Castro⁴, Marcos A. Faria⁵,

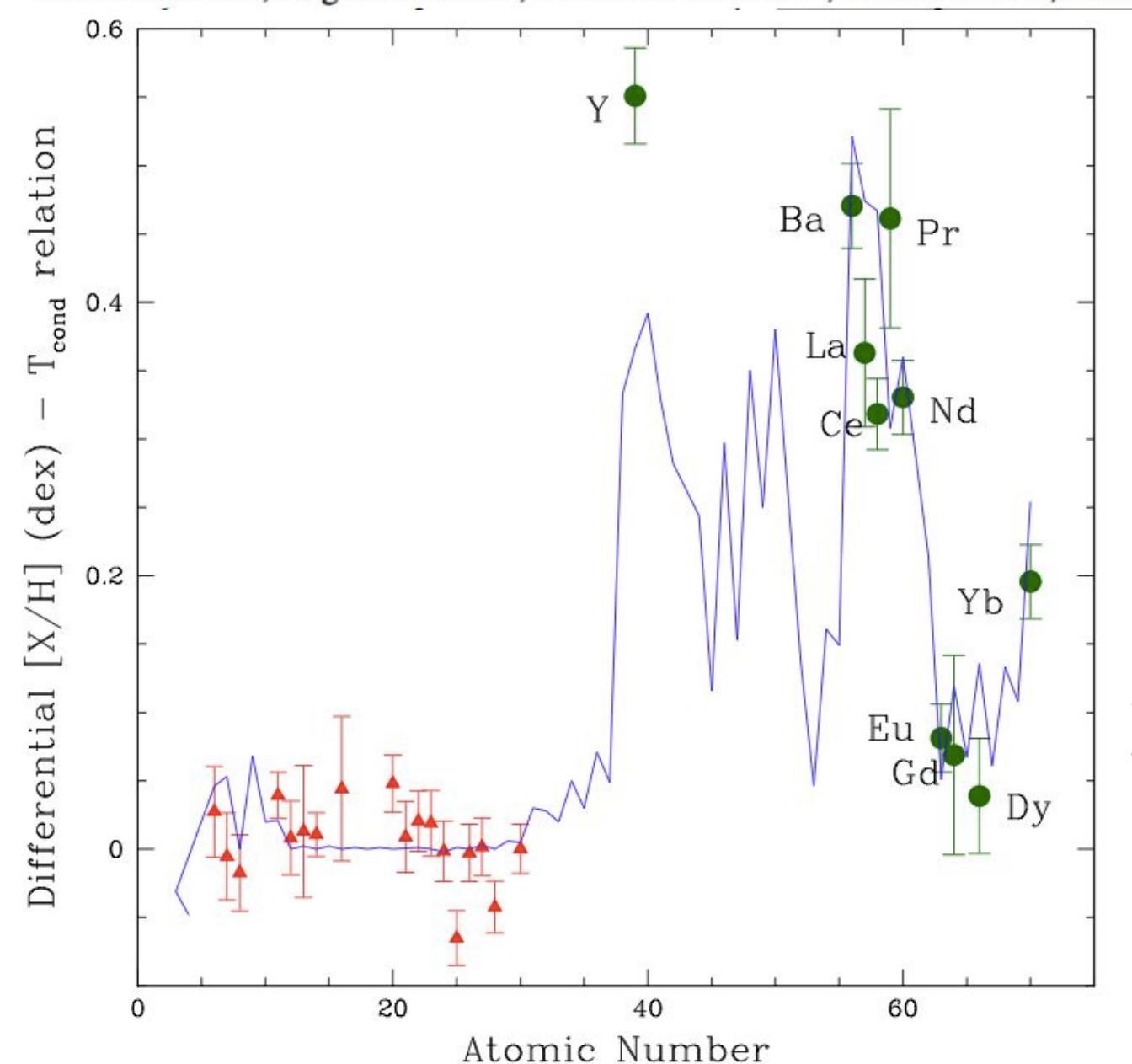
A gêmea solar HIP 10725 tem uma rotação maior à esperada para a idade dela. A alta rotação talvez é devida à transferência de momento angular da antiga companheira AGB.

A estrela HIP 10725 não apresenta berílio. O aumento da rotação pode ter resultado em dragagem de material pobre em Be



HIP 10725: The first solar twin/analogue field blue straggler*,**

Lucas Schirbel¹, Jorge Meléndez¹, Amanda I. Karakas², Iván Ramírez³, Matthieu Castro⁴, Marcos A. Faria⁵,



Gêmea solar rica em elementos de captura de nêutrons $(processo-s) \rightarrow$ provavelmente a antiga companheira AGB pode ter transferido material rico em elementos do processo-s

HIP 10725: The first solar twin/analogue field blue straggler*,**

Lucas Schirbel¹, Jorge Meléndez¹, Amanda I. Karakas², Iván Ramírez³, Matthieu Castro⁴, Marcos A. Faria⁵,

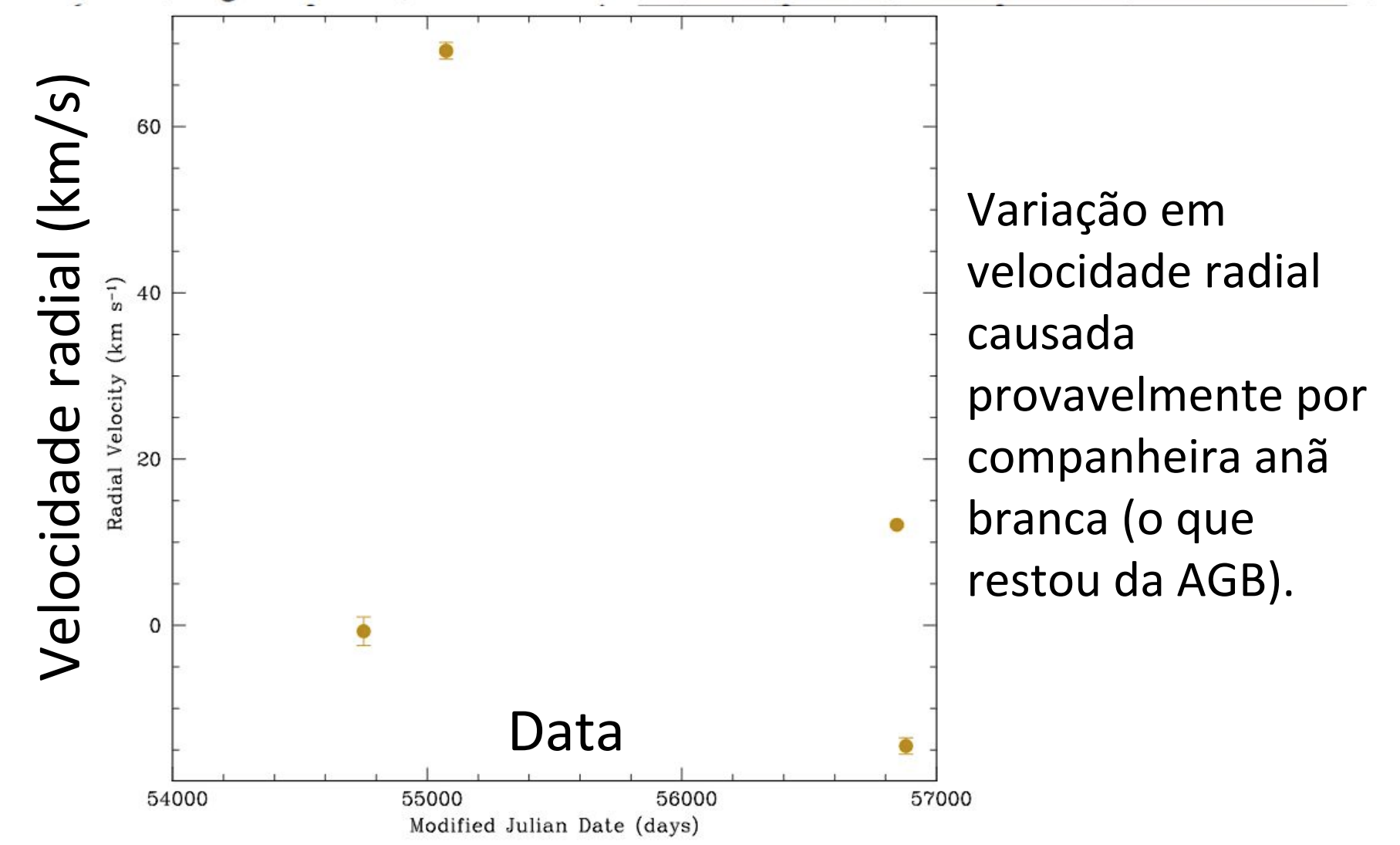


Fig. 4. Radial velocity data obtained for HIP 10725 over the course of several years, evidence for the presence of the unseen white dwarf companion.

Algumas áreas de Evolução Estelar no Brasil

Estrutura e evolução estelar (anãs brancas)

- Kepler Oliveira, Alejandra Romero (UFRGS)
- Cálculo de evolução do Li e Be em gêmeas do Sol:
- José-Dias do Nascimento, Matthieu Castro (UFRN)
- Assinaturas químicas de evolução estelar:
- Estrelas: Beatriz Barbuy, Jorge Meléndez (IAG/USP),
 Claudio Pereira (ON)
- Nebulosas Planetárias: Roberto Costa (IAG/USP)

Estrelas massivas:

Alex Carciofi (IAG/USP), Marcelo Borges Fernandes (ON)

Provinha

- 1) Para uma estrela de $5M_{Sol}$, explique o motivo para a virada do lado azul ao vermelho do ramo horizontal
- 2) O que é uma estrela Cefeída e qual a utilidade dessas estrelas?
- 3) Quando acontece o segundo dredge-up?
- 4) Desenhar *grosso modo* a estrutura interna de uma estrela AGB, indicando as 2 camadas ("shells") de queima de H e de He
- 5) Por que acontecem os pulsos térmicos?